

ผลการทดลอง

1. การศึกษาโรค พื้นที่การปลูก และการใช้สารเคมีในสวนกุหลาบ

ศึกษาพื้นที่ปลูกกุหลาบจากสวนกุหลาบบริเวณพื้นที่ราบซึ่งเป็นพื้นที่ที่อยู่สูงจากระดับน้ำทะเล 340 เมตร ที่ ต.ร้องวัวแดง อ.สันกำแพง และ อ. เมือง (สวนสาธารณะบวกหาด) จ.เชียงใหม่ และบริเวณพื้นที่สูง ซึ่งเป็นพื้นที่ที่อยู่สูงจากระดับน้ำทะเล 990 เมตร ที่ ต.โป่งแยง อ.แม่ริม ในเขต จ.เชียงใหม่ (ภาพ 8)

พบว่าสภาพพื้นที่ปลูกกุหลาบ ต.ร้องวัวแดง อ.สันกำแพง จ.เชียงใหม่ เกษตรกรทำการปลูกกุหลาบมาแล้วเป็นระยะเวลาประมาณ 5 ปี และก่อนหน้าที่จะปลูกกุหลาบ ได้มีการปลูกพืชชนิดอื่นด้วย สภาพแปลงปลูกจะจัดในลักษณะเป็นแถวยาว โดยเว้นระยะทางเดินในแต่ละแถว พบว่าเมื่อถึงฤดูฝนตกชุก น้ำจะขังบริเวณระยะทางเดินของแปลงปลูกกุหลาบ และบางครั้งน้ำอาจล้นเข้ามาจนถึงโคนต้นของกุหลาบ ซึ่งเป็นสาเหตุให้เชื้อสาเหตุโรคสามารถแพร่กระจายบริเวณแปลงปลูกได้อย่างรวดเร็ว ระหว่างที่ปลูกกุหลาบก็พบการเข้าทำลายของโรคและแมลงอยู่เป็นประจำ โดยโรคที่พบส่วนมากจะเป็นโรคใบจุดสีดำ โรคแอนแทรคโนส โรคราน้ำค้าง โรคราแป้ง โรคราสีเทา และโรคที่เกิดจากเชื้อไวรัสเป็นต้น เกษตรกรจึงทำการฉีดพ่นสารเคมีเพื่อป้องกันกำจัดโรคประมาณ 2-3 ครั้ง/สัปดาห์ และทำเช่นนี้ติดต่อกันเป็นประจำสม่ำเสมอ ซึ่งสารเคมีที่ใช้นั้นเป็นสารประเภทดูดซึม (systemic fungicides) ได้แก่ benomyl, carbendazim, thiabendazole และ thiophanate methyl เป็นต้น พบว่าระยะแรกสารเคมีที่ฉีดพ่นสามารถควบคุมโรคและแมลงได้ดี แต่เมื่อมีการฉีดพ่นสารเคมีต่อเนื่องกันเป็นระยะเวลานาน พบว่าไม่สามารถควบคุมโรคได้ เกษตรกรจึงเพิ่มปริมาณการใช้สารเคมี เพื่อให้มีประสิทธิภาพในการควบคุมโรคมมากขึ้น นอกจากนี้ยังมีการจัดการเกี่ยวกับสภาพแปลงปลูก เช่นการกำจัดวัชพืช พรุนดินและตัดแต่งกิ่ง เช่นกัน

การปลูกกุหลาบในพื้นที่ อ.เมือง (สวนสาธารณะบวกหาด) จ.เชียงใหม่ พบว่าเป็นการปลูกแบบไม่ประดับในสวน ไม่ได้ปลูกเพื่อการค้า แปลงที่ปลูกจึงมีขนาดเล็กเป็นหย่อมๆ จึงพบว่ามี การฉีดพ่นสารเคมีแต่ไม่มากนัก มีเพียงการบำรุง ดูแลรักษา และกำจัดวัชพืชที่เข้ามาทำลายบ้างเป็นบางครั้งเท่านั้น จากการที่ไม่ได้ดูแลกุหลาบอย่างสม่ำเสมอ จึงเป็นเหตุให้ต้นกุหลาบทรุดโทรมและเชื้อโรคเข้าทำลายได้เช่นกัน



ภาพ 8 สวนกุหลาบบริเวณพื้นที่ราบและพื้นที่สูงจังหวัดเชียงใหม่

ก. สวนกุหลาบบริเวณพื้นที่ราบ ต.ร้องวัวแดง อ.สันกำแพง จ.เชียงใหม่

ข. สวนกุหลาบบริเวณพื้นที่ราบ อ.เมือง (สวนสาธารณะบวภหาค) จ.เชียงใหม่

ค. สวนกุหลาบบริเวณพื้นที่สูง ต.โป่งแยง อ.แม่ริม จ.เชียงใหม่

สำหรับพื้นที่ปลูกกุหลาบ ต. โป่งแยง อ.แม่ริม จ.เชียงใหม่ พบว่าเกษตรกรได้ทำการปลูกกุหลาบมาเป็นระยะเวลาประมาณ 2 ปี และพื้นที่ที่ใช้ปลูก ก็เป็นพื้นที่เพิ่งเริ่มทำการเกษตร โดยเริ่มมีการปลูกกุหลาบจากพื้นที่เปิดใหม่ สภาพพื้นที่อยู่บริเวณเชิงเขาที่มีอากาศเย็นตลอดทั้งปี ซึ่งเป็นสภาพอากาศที่เหมาะสมสำหรับปลูกกุหลาบทำให้ดอกมีคุณภาพดียิ่งขึ้น ฤดูหนาวอากาศเย็นจัด มีหมอกปกคลุมอย่างหนาแน่น สภาพแปลงจะมีลักษณะเป็นชั้นบันได เมื่อฝนตกน้ำฝนก็จะไหลลงสู่แนวคั้ง จึงไม่พบลักษณะของน้ำขังบริเวณแปลงปลูก ระหว่างที่ทำการปลูกกุหลาบก็พบการเข้าทำลายของโรคและแมลงอยู่เป็นประจำ โดยโรคที่พบส่วนมากจะเป็นโรคใบจุดสีดำ โรคแอนแทรคโนส โรคราน้ำค้าง โรคราแป้ง และโรคที่เกิดจากเชื้อไวรัส เกษตรกรจึงทำการฉีดพ่นสารเคมีเพื่อป้องกันและกำจัดโรคเหล่านี้ ถ้าเป็นช่วงเทศกาลซึ่งจะทำให้ดอกกุหลาบเป็นที่ต้องการของตลาดสูง ราคาของดอกกุหลาบสูงมากกว่าปกติ เกษตรกรจะใส่ปุ๋ยและพ่นยาเพื่อเร่งให้กุหลาบออกดอกและมีคุณภาพดอกดีที่สุด โดยระยะที่กุหลาบเริ่มให้ผลผลิต ดอกกุหลาบที่ยังตูมก็จะมีการหุ้มด้วยโพนตาข่ายพลาสติก ซึ่งจัดว่าเป็นการรักษาคุณภาพของดอกให้คงทน สะดวกต่อการขนส่ง และยังทำให้คงความสวยงามได้นานวิธีอีกหนึ่ง (ภาพ 9) ขณะเดียวกัน โรคและแมลงก็ยังคงรบกวนและสร้างความเสียหายให้กับแปลงปลูกกุหลาบเป็นประจำ โดยเกษตรกรจะทำการฉีดพ่นสารเคมีเป็นปริมาณมาก ประมาณ 2-3 ครั้ง ต่อสัปดาห์ ติดต่อกันตลอดระยะเวลาที่กุหลาบเริ่มออกดอกจนกระทั่งเก็บเกี่ยว ซึ่งสารเคมีที่ใช้ ได้แก่ carbendazim, propiconazole, prochloraz, azoxystrobin และ carbendazim ผสมกับ mancozeb แต่เมื่อเก็บเกี่ยวดอกจนเสร็จสมบูรณ์ เกษตรกรก็จะลดการใช้สารเคมีลง โดยเปลี่ยนมาเป็นการจัดการเกี่ยวกับแปลงปลูก เช่นการกำจัดวัชพืช พรวนดินและตัดแต่งกิ่ง เช่นกัน



ภาพ 9 การผลิตดอกกุหลาบ โดยการหุ้มด้วยโฟมตาข่ายพลาสติก ที่สวนกุหลาบ ต.โป่งแยง อ.แม่ริม จ.เชียงใหม่

ก. การหุ้มด้วยโฟมตาข่ายพลาสติก เริ่มเมื่อดอกยังตูม

ข. เมื่อดอกพร้อมตัดจำหน่าย

2. การศึกษาลักษณะอาการและแยกเชื้อสาเหตุของโรคแอนแทรกโนสกุหลาบ

จากการสำรวจและศึกษาโรคแอนแทรกโนสของกุหลาบจากแปลงปลูกกุหลาบ พบว่าโรคแอนแทรกโนสกุหลาบ มีสาเหตุมาจากเชื้อรา *Colletotrichum gloeosporioides* อาการมักเกิดกับใบกุหลาบ ลักษณะแผลจะเป็นจุดค่อนข้างกลม ระยะแรกแผลจะเป็นสีน้ำตาลแก่และจะเปลี่ยนเป็นสีดำ ระยะต่อมาเนื้อเยื่อตรงกลางจุดจะตายและเปลี่ยนเป็นสีขาวหรือ สีจืดๆ พบตุ่มสีดำ (fruiting body) ขนาดเล็กกระจายอยู่ทั่วบริเวณจุดแผล ใบจะหลุดและทำให้ตรงกลางเป็นรู รอบจุดอาจมีสีเหลืองหรือสีแดงล้อมรอบ และใบจะร่วงในที่สุด (ภาพ 10) เมื่อตรวจหาเชื้อสาเหตุด้วยวิธี Free hand

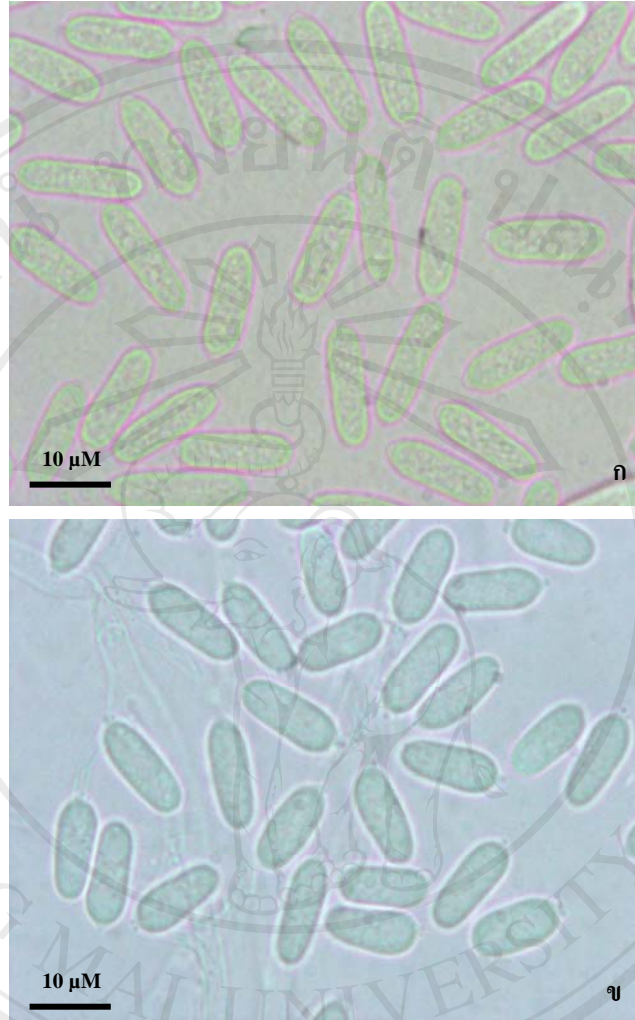
sectioning technique แล้วนำไปส่องดูภายใต้กล้องจุลทรรศน์พบว่าเชื้อราสร้างสปอร์ (spore) ลักษณะหัวท้ายมน (cylindrical) เซลล์เดียว สีใส (ภาพที่ 11) การแยกเชื้อราสาเหตุ *C. gloeosporioides* จากสวนกุหลาบในบริเวณพื้นที่ราบและพื้นที่สูงในเขต จ.เชียงใหม่ พบว่า อ.สันกำแพง สามารถแยกเชื้อรา *C. gloeosporioides* ได้จำนวน 38 ไอโซเลท อ.เมือง (สวนสาธารณะ บวกหาด) จำนวน 13 ไอโซเลท และ อ.แม่ริม จำนวน 42 ไอโซเลท รวมทั้งสิ้นเป็น 93 ไอโซเลท (ตาราง 4)



ภาพ 10 ลักษณะอาการ โรคแอนแทรคโนสบนใบของกุหลาบ

ก. แผลมีลักษณะเป็นจุดค่อนข้างกลม เนื้อเยื่อตรงกลางแผลจะแห้งตาย และเปลี่ยนเป็น สีซีดๆ

ข. อาการรุนแรง ใบกุหลาบจะเริ่มเปลี่ยนเป็นสีเหลือง และใบร่วงในที่สุด



ภาพ 11 ลักษณะสปอร์ของเชื้อรา *C. gloeosporioides* สาเหตุโรคแอนแทรคโนสกุหลาบที่เลี้ยงบนอาหารเลี้ยงเชื้อ PDA บันทึกภาพด้วยกล้องจุลทรรศน์ compound microscope (กำลังขยาย 1000 เท่า)

ก. ลักษณะสปอร์ของ *C. gloeosporioides* ของไอโซเลท MC-002

ข. ลักษณะสปอร์ของ *C. gloeosporioides* ของไอโซเลท MC-034

ตาราง 4 ไอโซเลทของเชื้อรา *Colletotrichum gloeosporioides* ที่แยกเชื้อสาเหตุจากสวนกุหลาบ อ.สันกำแพง อ.เมือง (สวนสาธารณะบวกดาด) และ อ.แม่วิม จ. เชียงใหม่ จำนวนทั้งสิ้น 93 ไอโซเลท

อ.สันกำแพง		อ.เมือง (สวนสาธารณะบวกดาด)		อ.แม่วิม
ไอโซเลท	ไอโซเลท	ไอโซเลท	ไอโซเลท	ไอโซเลท
SC-001	SC-020	BC-001	MC-001	MC-022
SC-002	SC-021	BC-002	MC-002	MC-023
SC-003	SC-022	BC-003	MC-003	MC-024
SC-004	SC-023	BC-004	MC-004	MC-025
SC-005	SC-024	BC-005	MC-005	MC-026
SC-006	SC-025	BC-006	MC-006	MC-027
SC-007	SC-026	BC-007	MC-007	MC-028
SC-008	SC-027	BC-008	MC-008	MC-029
SC-009	SC-028	BC-009	MC-009	MC-030
SC-010	SC-029	BC-010	MC-010	MC-031
SC-011	SC-030	BC-011	MC-011	MC-032
SC-012	SC-031	BC-012	MC-012	MC-033
SC-013	SC-032	BC-013	MC-013	MC-034
SC-014	SC-033		MC-014	MC-035
SC-015	SC-034		MC-015	MC-036
SC-016	SC-035		MC-016	MC-037
SC-017	SC-036		MC-017	MC-038
SC-018	SC-037		MC-018	MC-039
SC-019	SC-038		MC-019	MC-040
			MC-020	MC-041
			MC-021	MC-042

กำหนดให้

SC คือ ไอโซเลทของเชื้อรา *C. gloeosporioides* ที่แยกจาก ต.ร้องวัวแดง อ.สันกำแพง จ. เชียงใหม่

BC คือ ไอโซเลทของเชื้อรา *C. gloeosporioides* ที่แยกจาก อ.เมือง (สวนสาธารณะบวกดาด) จ.เชียงใหม่

MC คือ ไอโซเลทของเชื้อรา *C. gloeosporioides* ที่แยกจาก ต.โป่งแยง อ.แม่วิม จ. เชียงใหม่

3. การทดสอบความสามารถของสารคาร์เบนดาซิมในการควบคุมเชื้อราสาเหตุโรคแอนแทรคโนส กุหลาบ

ทำการทดสอบความสามารถของสารคาร์เบนดาซิมในการควบคุมเชื้อราสาเหตุโรคแอนแทรคโนสกุหลาบ โดยทดสอบสารที่ระดับความเข้มข้น 1, 10, 100 และ 500 ppm (อัตราแนะนำ 500 ppm) บนอาหารเลี้ยงเชื้อ PDA ที่ผสมสารคาร์เบนดาซิม จำนวนทั้งสิ้น 93 ไอโซเลท เพื่อตรวจหาการต้านทานของเชื้อราสาเหตุโรคแอนแทรคโนส พบว่าเชื้อราแสดงการต้านทานสารคาร์เบนดาซิมได้สูง (highly resistance) จำนวน 3 ไอโซเลท คือ SC-020, SC-021 และ SC-038 พบเชื้อราที่ไม่ต้านทานต่อสารคาร์เบนดาซิม (sensitive) จำนวน 90 ไอโซเลท โดยจากการทดลองนี้ ไม่พบการต้านทานในระดับปานกลาง (moderately resistance) ต่อสารคาร์เบนดาซิม (ตาราง 5; ภาพ 12)

ตาราง 5 การตรวจหาการต้านทานของเชื้อรา *Colletotrichum gloeosporioides* ที่แยกจากสวนกุหลาบ อ.สันกำแพง อ.เมือง (สวนสาธารณะบวภพาด) และ อ.แม่ริม จ.เชียงใหม่ จำนวน 93 ไอโซเลท

ไอโซเลท	จำนวน	ชุดควบคุม	คาร์เบนดาซิม (ppm)				ลักษณะการ ต้านทาน
			1	10	100	500	
SC 001-019	19	+	-	-	-	-	S
SC 020-021	2	+	+	+	+	+	HR
SC 022-037	16	+	-	-	-	-	S
SC 038	1	+	+	+	+	+	HR
BC 001-013	13	+	-	-	-	-	S
MC 001-042	42	+	-	-	-	-	S
รวม	93						

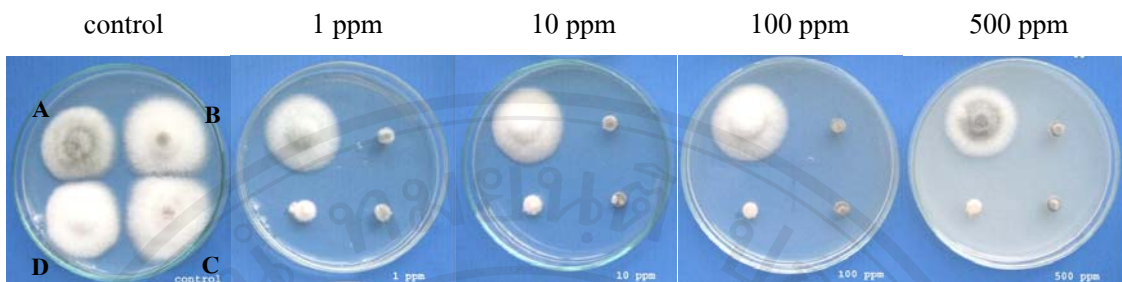
กำหนดให้

HR = (highly resistance isolate)

S = (sensitive isolate)

(+) = เชื้อราสามารถเจริญได้

(-) = เชื้อราไม่สามารถเจริญได้



ภาพ 12 การเจริญของเชื้อราสาเหตุโรคแอนแทรกโนสบนอาหาร PDA ที่ผสมสารคาร์เบนดาซิม ที่ 4 ระดับความเข้มข้น คือ 1, 10, 100 และ 500 ppm เมื่ออายุ 3 วัน เปรียบเทียบกับ ชุดควบคุม

A = เชื้อราไอโซเลท SC-021 (HR)

B = เชื้อราไอโซเลท SC-022 (S)

C = เชื้อราไอโซเลท SC-023 (S)

D = เชื้อราไอโซเลท SC-024 (S)

4. การศึกษาลักษณะทางสัณฐานวิทยาของเชื้อราสาเหตุโรคแอนแทรกโนสกุหลาบ

เลือกตัวแทนของเชื้อราจาก อ.สันกำแพง อ.แม่ริม และ อ.เมือง (สวนสาธารณะบวกหาด) ใน จ.เชียงใหม่ โดยดูจากความสามารถในการเจริญของเชื้อราบนอาหารที่ผสมสารเคมี จำนวนทั้งสิ้น 12 ไอโซเลท ได้แก่ SC-004, SC-017, SC-020, SC-021, SC-025, SC-034, SC-038, MC-002, MC-028, MC-034, BC-002 และ BC-012 มาศึกษาลักษณะทางสัณฐานวิทยา โดยศึกษาการเจริญที่อายุ 3 5 และ 7 วัน บนอาหารเลี้ยงเชื้อ PDA วัดขนาดเส้นผ่าศูนย์กลางโคโลนีในลักษณะแกน X และแกน Y แล้วจึงหาค่าเฉลี่ยการเจริญเติบโต ตรวจสอบลักษณะของสปอร์ การสร้างเส้นใย และทำการบันทึกภาพลักษณะของโคโลนีที่อายุ 7 วัน เพื่อนำข้อมูลที่ได้ไปใช้ในการศึกษาเปรียบเทียบการต้านทานและความสามารถของสารเคมีในการควบคุมเชื้อราสาเหตุโรคต่อไป พบว่าเชื้อราสามารถเจริญได้ค่อนข้างเร็วถึงปานกลางบนอาหารเลี้ยงเชื้อ PDA เส้นใยเชื้อรามีสีขาว สีเทา และสีเทาปนเขียว มีการสร้าง setae และ sclerotia จากนั้นทำการศึกษาลักษณะของสปอร์และแอฟเพรสซอเรียม โดยการเลี้ยงราแบบ slide culture บนอาหาร ¼ PDA ที่อายุ 7 วัน พบว่าสปอร์ มีลักษณะหัวทำยม (cylindrical) เซลล์เดี่ยว สีใส ขนาดประมาณ 2.71-5.0 x 10.42-14.04 ไมครอน สร้างแอฟเพรสซอเรียม (appressorium) สีน้ำตาลรูปร่างคล้ายกระบอง (clavate) ขนาดประมาณ 5.75-8.75 x 10.13-12.63 ไมครอน (ตาราง 6; ภาพ 13)

ตาราง 6 ลักษณะทางสัณฐานวิทยาของเชื้อรา *Colletotrichum gloeosporioides* สาเหตุโรคแอนแทรคโนสในกุหลาบที่แยกจากสวนกุหลาบ อ.สันกำแพง อ.แมริม และ อ.เมือง (สวนสาธารณะบวกดหาด) จ.เชียงใหม่ จำนวน 12 ไอโซเลต

Isolate	Colony				Spore (7 days)		Appressorium (7 days)		Setae	Sclerotia
	Characteristic	Growth (cm)			Size	Shape	Size	Shape		
		3 days	5 days	7 days						
SC-004	W	4.35	6.75	9.00	3.13x12.54	cylindrical	-	-	-	-
SC-017	W	4.60	7.60	9.00	2.79x13.54	cylindrical	5.88x12.63	clavate	+	+
SC-020	W	4.05	7.30	9.00	3.17x14.04	cylindrical	6.88x10.13	clavate	+	+
SC-021	G	4.10	7.25	8.90	2.83x12.71	cylindrical	7.25x12.00	clavate	+	+
SC-025	W	3.80	6.40	8.40	2.88x10.42	cylindrical	5.88x10.50	clavate	+	+
SC-034	G	4.25	7.45	9.00	3.38x12.88	cylindrical	6.75x12.88	clavate	+	+
SC-038	W	4.55	7.85	9.00	2.71x13.25	cylindrical	7.00x12.63	clavate	+	+
MC-002	GG	4.00	6.70	8.25	3.29x13.25	cylindrical	8.75x11.88	clavate	+	+
MC-028	W	4.60	8.15	9.00	2.96x11.96	cylindrical	5.75x12.25	clavate	+	+
MC-034	W	4.65	7.85	9.00	5.00x12.00	cylindrical	7.63x12.00	clavate	+	+
BC-002	W	4.05	6.90	8.50	4.38x10.79	cylindrical	7.38x11.25	clavate	-	-
BC-012	W	3.25	5.40	7.00	4.63x12.04	cylindrical	-	-	-	-

กำหนดให้

SC = ไอโซเลตที่แยกจาก อ.สันกำแพง

W = white colony (โคโลนีสีขาว)

+ = present (มีการสร้าง)

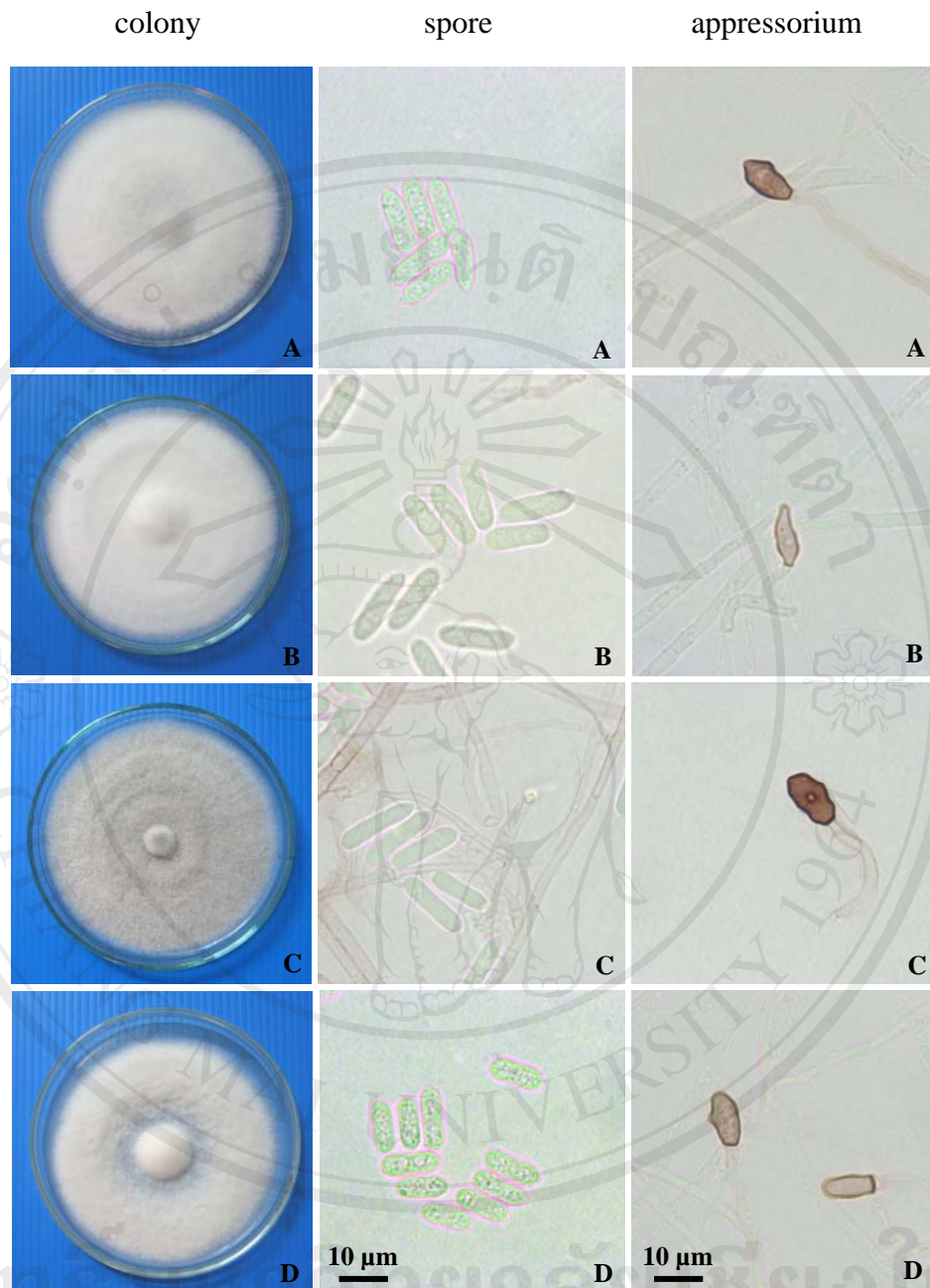
MC = ไอโซเลตที่แยกจาก อ.แมริม

G = gray colony (โคโลนีสีเทา)

- = absent (ไม่พบการสร้าง)

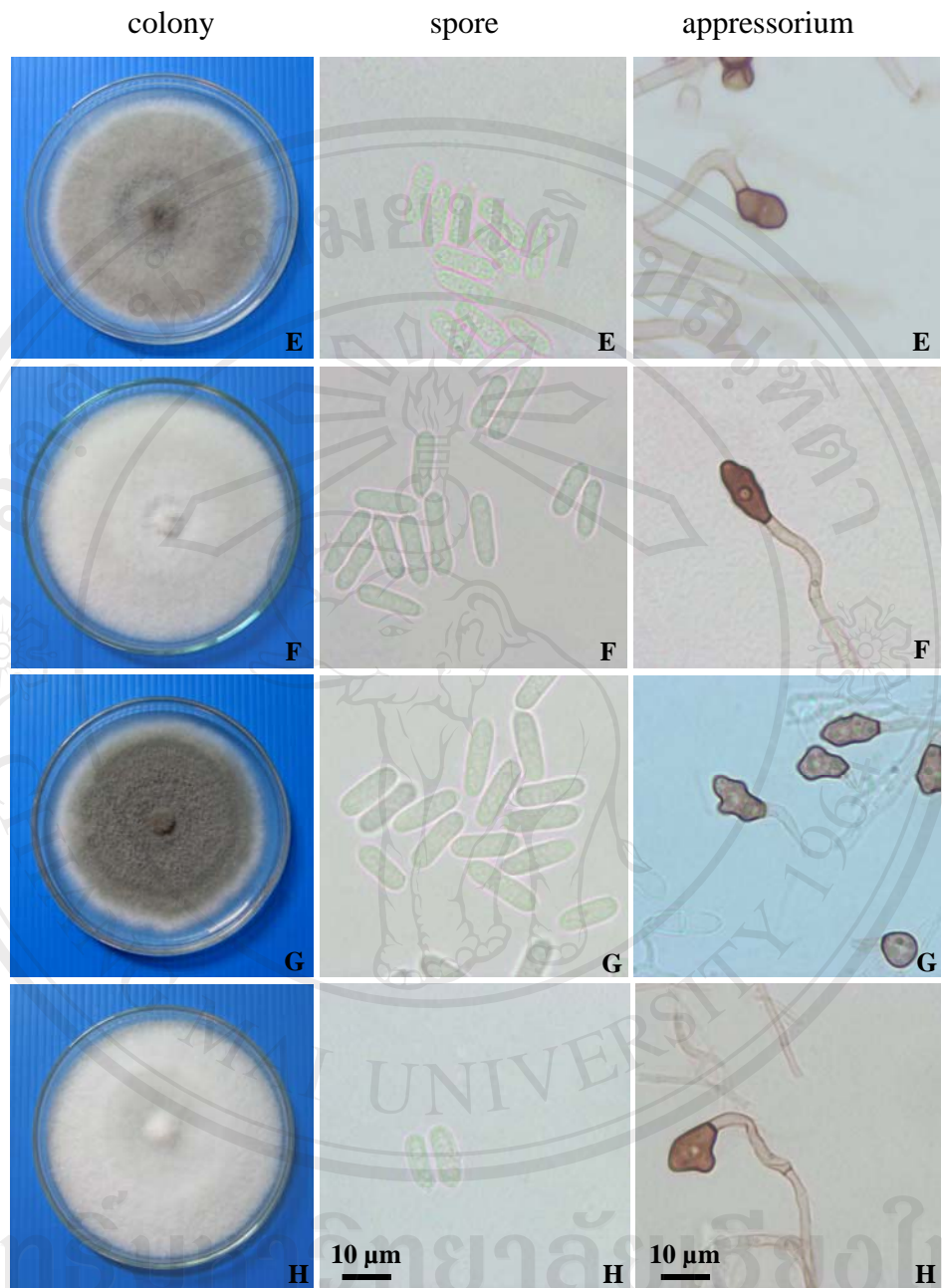
BC = ไอโซเลตที่แยกจาก อ.เมือง (สวนสาธารณะบวกดหาด)

GG = gray/green colony (โคโลนีสีเทาปนเขียว)



ภาพ 13 ลักษณะโคโลนี (บนอาหาร PDA) สปอร์และแอฟเพรสซอเรียม (บนอาหาร ¼ PDA) ของเชื้อรา *C. gloeosporioides* สาเหตุโรคแอนแทรคโนสกุหลาบ ที่อายุ 7 วัน

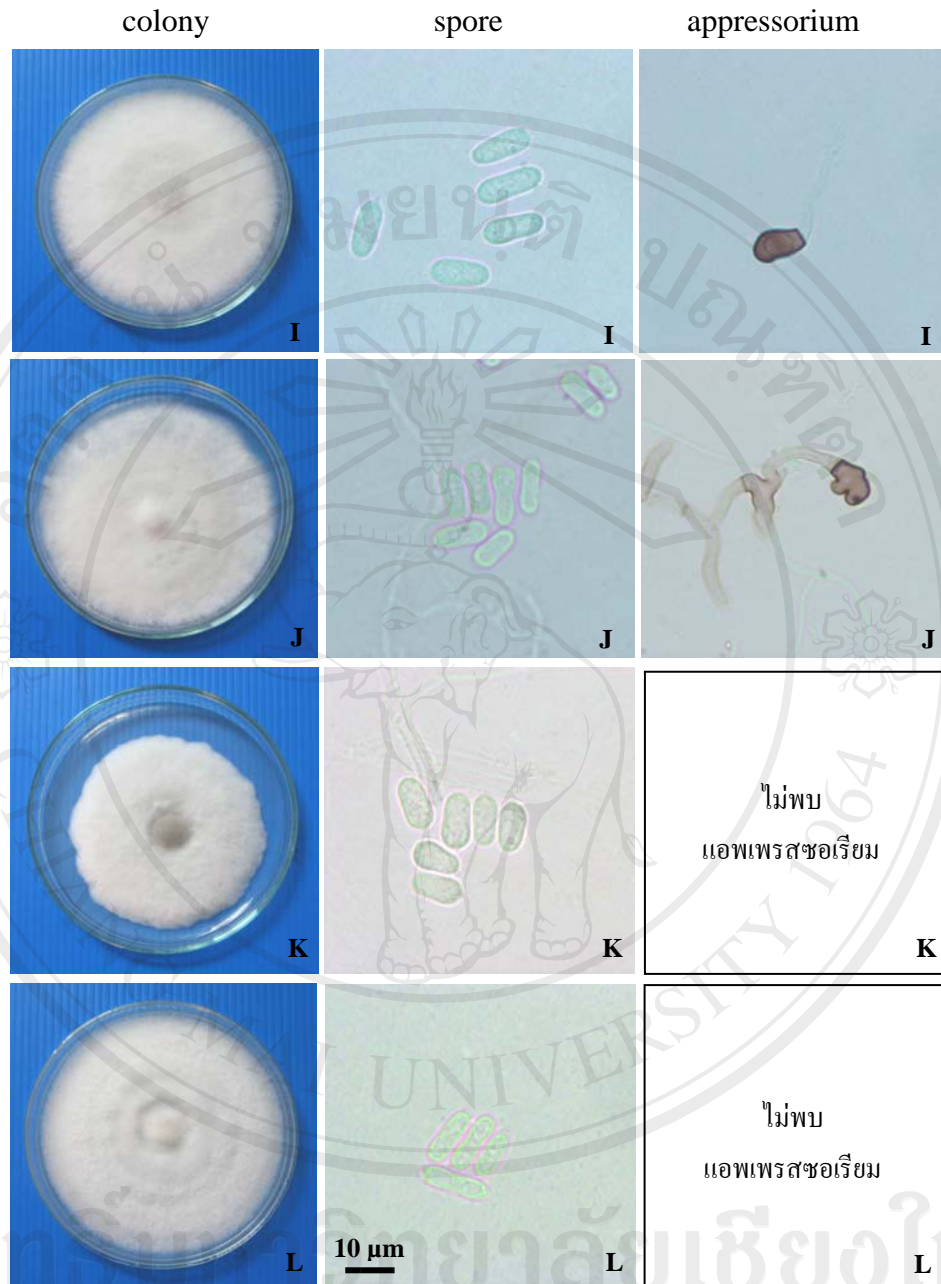
- A = ลักษณะโคโลนี สปอร์ และ แอฟเพรสซอเรียม ของไอโซเลท SC-017
 B = ลักษณะโคโลนี สปอร์ และ แอฟเพรสซอเรียม ของไอโซเลท SC-020
 C = ลักษณะโคโลนี สปอร์ และ แอฟเพรสซอเรียม ของไอโซเลท SC-021
 D = ลักษณะโคโลนี สปอร์ และ แอฟเพรสซอเรียม ของไอโซเลท SC-025



ภาพ 13 (ต่อ) ลักษณะโคโลนี (บนอาหาร PDA) สปอร์และแอฟเพรสอเรียม (บนอาหาร ¼ PDA)

ของเชื้อรา *C. gloeosporioides* สาเหตุโรคแอนแทรคโนสกุหลาบ ที่อายุ 7 วัน

- E = ลักษณะโคโลนี สปอร์ และ แอฟเพรสอเรียม ของไอโซเลท SC-034
 F = ลักษณะโคโลนี สปอร์ และ แอฟเพรสอเรียม ของไอโซเลท SC-038
 G = ลักษณะโคโลนี สปอร์ และ แอฟเพรสอเรียม ของไอโซเลท MC-002
 H = ลักษณะโคโลนี สปอร์ และ แอฟเพรสอเรียม ของไอโซเลท MC-028



ภาพ 13 (ต่อ) ลักษณะโคโลนี (บนอาหาร PDA) สปอร์และแอฟเพรสซอเรียม (บนอาหาร ¼ PDA)

ของเชื้อรา *C. gloeosporioides* สาเหตุโรคแอนแทรคโนสกุหลาบ ที่อายุ 7 วัน

- I = ลักษณะโคโลนี สปอร์ และ แอฟเพรสซอเรียม ของไอโซเลต MC-034
 J = ลักษณะโคโลนี สปอร์ และ แอฟเพรสซอเรียม ของไอโซเลต BC-002
 K = ลักษณะโคโลนี สปอร์ และ แอฟเพรสซอเรียม ของไอโซเลต BC-012
 L = ลักษณะโคโลนี สปอร์ และ แอฟเพรสซอเรียม ของไอโซเลต SC-004

5. การทดสอบความสามารถของสารเคมีกลุ่มต่างๆ ในการควบคุมเชื้อราสาเหตุโรคแอนแทรคโนส กุหลาบ

5.1 การทดสอบความสามารถของสารเคมีกลุ่มเบนซิมิดาโซลในการควบคุมเชื้อราสาเหตุ โรคแอนแทรคโนสกุหลาบ

การทดสอบสารเคมีในกลุ่มเบนซิมิดาโซล ซึ่งได้แก่ คาร์เบนดาซิม บีโนมิล และ ไทโอฟาเนต เมทิล ที่ระดับความเข้มข้น 1, 10, 100, 500 ppm และชุดควบคุม กับเชื้อรา *Colletotrichum gloeosporioides* จำนวน 12 ไอโซเลท ที่แยกได้จาก อ.สันกำแพง อ.แม่ริม และ อ.เมือง จ.เชียงใหม่ การทดสอบนี้ทำในห้องปฏิบัติการ และบันทึกเปอร์เซ็นต์การยับยั้งการเจริญของ เส้นใยที่อายุ 3 วัน และนำข้อมูลที่ได้ทั้งหมดจำนวน 540 experimental units มาวิเคราะห์ทางสถิติ พบว่าเกิดปฏิกิริยาร่วม หรือเกิด interaction ระหว่าง fungicide x isolate x concentration (ตาราง 7) ซึ่งค่าเฉลี่ย treatment combination ทั้งหมดเสนอไว้ในตาราง 8 และ ภาพ 14 ภาพ 15 และภาพ 16 ส่วนค่า LSD ที่ใช้เปรียบเทียบค่าเฉลี่ยของแต่ละคู่มิค่าเท่ากับ 8.29 ที่ความเชื่อมั่น 95% และ 10.92 ที่ความเชื่อมั่น 99% สำหรับการทดสอบครั้งนี้พบเชื้อที่ต้านทานสูง (highly resistance) ต่อสารเคมี จำนวน 3 ไอโซเลท ได้แก่ SC-020, SC-021 และ SC-038 ซึ่งแยกได้จาก อ.สันกำแพง โดยเชื้อราทั้ง 3 ไอโซเลท เกิดการต้านทานต่อสารป้องกันกำจัดเชื้อราทั้ง 3 ชนิดของสารในกลุ่มเบนซิมิดาโซล เพราะสารในกลุ่มนี้มีเปอร์เซ็นต์การยับยั้งการเจริญเส้นใยของเชื้อราที่เกิดการต้านทานได้ต่ำเพียง 0-2.35% เท่านั้น โดยการต้านทานสารเคมีในลักษณะนี้จัดได้ว่าเป็นการต้านทานแบบข้าม (cross resistance) ส่วนเชื้อที่ไม่แสดงการต้านทาน พบว่ามีการตอบสนองต่อสารเคมีแตกต่างกันไป ยกตัวอย่างเช่น เชื้อราไอโซเลท SC-004 จาก อ.สันกำแพง สารคาร์เบนดาซิมยับยั้งได้ 100% เมื่อใช้ในอัตราความเข้มข้น 10-500 ppm แต่ที่ความเข้มข้นต่ำคือที่ 1 ppm สารคาร์เบนดาซิมยับยั้งเชื้อรา ไอโซเลทนี้ได้ลดลงมาเหลือเพียง 72.08% เท่านั้น และหากพิจารณาเปรียบเทียบไอโซเลท SC-004 กับสารบีโนมิล พบว่าต้องใช้สารในอัตราสูงสุดจึงสามารถยับยั้งเชื้อได้ 100% สำหรับสาร ไทโอฟาเนต เมทิล กับเชื้อราไอโซเลท SC-004 พบว่าที่อัตรา 10-500 ppm ยับยั้งการเจริญของเชื้อ ได้สูงสุดอยู่ในช่วงระหว่าง 81.60-86.22% ซึ่งต่างกับกรรมวิธีที่ใช้ในอัตรา 1 ppm อย่างมีนัยสำคัญทางสถิติที่ความเชื่อมั่น 99% เพราะที่ 1 ppm ความสามารถในการยับยั้งลดลงเหลือ 36.32%

ตาราง 7 ผลการวิเคราะห์ความผันแปรทางสถิติแบบ Factorial in CRD ของสารเคมีกลุ่มเบนซิมิดาโซล ซึ่งได้แก่ คาร์เบนดาซิม บีโนมิล และไทโอฟานต เมทริล ที่ระดับความเข้มข้น 1, 10, 100, 500 ppm และชุดควบคุม ต่อการเจริญของเส้นใยที่อายุ 3 วันของเชื้อรา *Colletotrichum gloeosporioides* สาเหตุโรคแอนแทรคโนสกุหลาบ จำนวน 12 ไอโซเลท ที่แยกจากสวน อ.สันกำแพง อ.แมริม และ อ.เมือง จ.เชียงใหม่

Source	df	SS	MS	F	P
Isolate (Is)	11	454720	41338	1550.16	0.0000
Fungicide (F)	2	11720	5860	219.74	0.0000
Concentration (C)	4	400046	100012	3750.39	0.0000
Is x F	22	5723	260	9.75	0.0000
Is x C	44	151979	3454	129.53	0.0000
F x C	8	1913	2392	89.71	0.0000
Is x F x C	88	17735	202	7.56	0.0000
Error	360	9600	27		
Total	539				

Grand mean = 51.33

CV (%) = 10.06

ตาราง 8 ความสามารถของสารเคมีกลุ่มเบนซิมิดาโซล ที่ระดับความเข้มข้น 1, 10, 100, 500 ppm และชุดควบคุม ในการยับยั้งการเจริญของเส้นใยเชื้อรา *Colletotrichum gloeosporioides* สาเหตุโรคแอนแทรคโนสกุหลาบที่แยกจาก อ.สันกำแพง (SC) อ.แมริม (MC) และ อ.เมือง (BC) จ.เชียงใหม่ ที่อายุ 3 วัน

Fungicide	Isolate	Growth (cm) ¹	Inhibition(%) ²			
			1 ppm	10 ppm	100 ppm	500 ppm
carbendazim	SC-004	3.58	72.08	100.00	100.00	100.00
	SC-017	3.65	65.70	85.58	100.00	100.00
	SC-020	3.45	1.44	1.44	1.44	1.44
	SC-021	3.58	1.88	1.88	1.88	1.88
	SC-025	3.42	66.31	100.00	100.00	100.00
	SC-034	3.92	100.00	100.00	100.00	100.00
	SC-038	3.73	0.00	0.44	0.44	0.44
	MC-002	3.12	100.00	100.00	100.00	100.00
	MC-028	3.62	63.60	100.00	100.00	100.00
	MC-034	3.78	100.00	100.00	100.00	100.00
	BC-002	2.68	75.28	100.00	100.00	100.00
	BC-012	2.73	57.31	100.00	100.00	100.00

¹ ค่าเฉลี่ยคิดจาก 3 ซ้ำของชุดควบคุม

² ค่าเฉลี่ยคิดจาก 3 ซ้ำของเปอร์เซ็นต์การยับยั้ง

LSD (p=0.01) = 10.92, LSD (p=0.05) = 8.29, CV (%) = 10.06

ตาราง 8 (ต่อ) ความสามารถของสารเคมีกลุ่มเบนซิมิดาโซล ที่ระดับความเข้มข้น 1, 10, 100, 500 ppm และชุดควบคุม ในการยับยั้งการเจริญของเส้นใยเชื้อรา *Colletotrichum gloeosporioides* สาเหตุโรคแอนแทรกโนส กล้วยที่แยกจาก อ.สันกำแพง (SC) อ.แม่วิม (MC) และ อ.เมือง (BC) จ.เชียงใหม่ ที่อายุ 3 วัน

Fungicide	Isolate	Growth (cm) ¹	Inhibition(%) ²			
			1 ppm	10 ppm	100 ppm	500 ppm
benomyl	SC-004	3.58	46.47	80.61	73.43	100.00
	SC-017	3.65	47.24	74.58	79.96	100.00
	SC-020	3.45	0.00	0.48	0.48	0.48
	SC-021	3.58	0.47	0.94	1.40	1.40
	SC-025	3.42	57.88	100.00	100.00	100.00
	SC-034	3.92	53.80	100.00	100.00	100.00
	SC-038	3.73	0.00	0.00	0.00	0.00
	MC-002	3.12	53.16	100.00	100.00	100.00
	MC-028	3.62	50.90	70.01	100.00	100.00
	MC-034	3.78	74.24	89.68	100.00	100.00
	BC-002	2.68	53.48	82.90	100.00	100.00
	BC-012	2.73	15.74	87.57	100.00	100.00
thiophanate methyl	SC-004	3.58	36.32	81.60	83.40	86.22
	SC-017	3.65	29.23	78.90	88.30	100.00
	SC-020	3.45	0.48	0.48	0.48	0.48
	SC-021	3.59	0.00	0.00	0.00	2.35
	SC-025	3.42	40.43	77.07	100.00	100.00
	SC-034	3.92	17.43	74.25	100.00	100.00
	SC-038	3.73	0.89	0.89	0.89	0.89
	MC-002	3.12	10.68	93.65	100.00	100.00
	MC-028	3.62	38.18	66.35	100.00	100.00
	MC-034	3.78	38.30	100.00	100.00	100.00
	BC-002	2.68	9.83	63.89	100.00	100.00
	BC-012	2.73	20.52	76.69	100.00	100.00

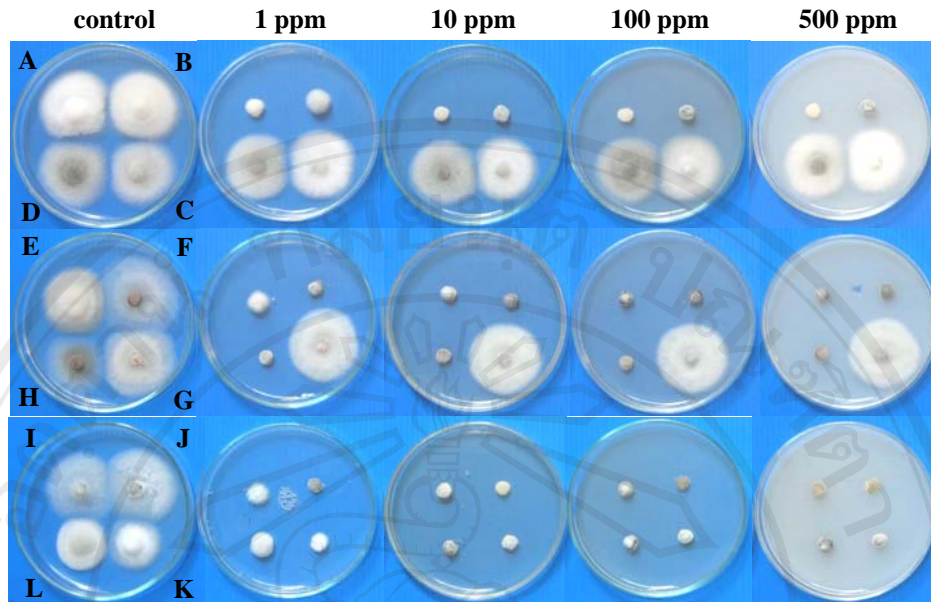
¹ ค่าเฉลี่ยคิดจาก 3 ซ้ำของชุดควบคุม

² ค่าเฉลี่ยคิดจาก 3 ซ้ำของเปอร์เซ็นต์การยับยั้ง

LSD (p=0.01) = 10.92

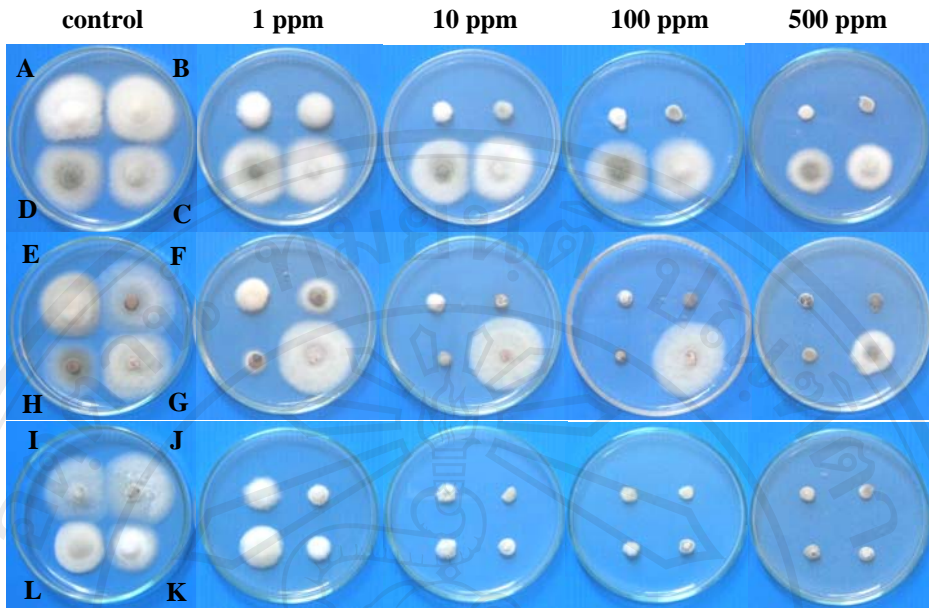
LSD (p=0.05) = 8.29

CV (%) = 10.06



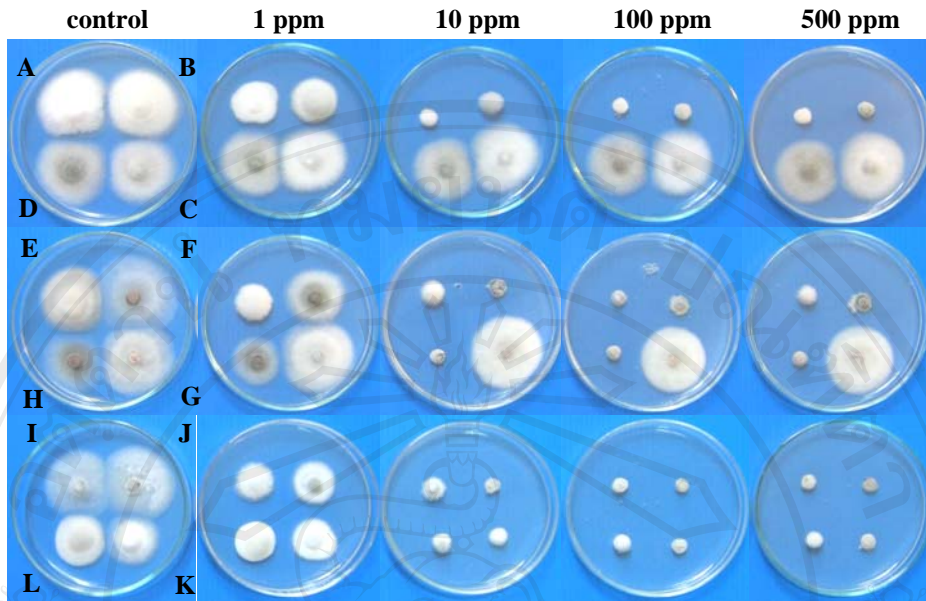
ภาพ 14 การเจริญของเชื้อราสาเหตุโรคแอนแทรกโนสบนอาหาร PDA ที่ผสมสารคาร์เบนดาซิม ที่ 4 ระดับความเข้มข้น คือ 1, 10, 100 และ 500 ppm เปรียบเทียบกับชุดควบคุม เมื่ออายุ 3 วัน

- | | |
|--------------------------------|--------------------------------|
| A = เชื้อราไอโซเลท SC-004 (S) | B = เชื้อราไอโซเลท SC-017 (S) |
| C = เชื้อราไอโซเลท SC-020 (HR) | D = เชื้อราไอโซเลท SC-021 (HR) |
| E = เชื้อราไอโซเลท SC-025 (S) | F = เชื้อราไอโซเลท SC-034 (S) |
| G = เชื้อราไอโซเลท SC-038 (HR) | H = เชื้อราไอโซเลท MC-002 (S) |
| I = เชื้อราไอโซเลท MC-028 (S) | J = เชื้อราไอโซเลท MC-034 (S) |
| K = เชื้อราไอโซเลท BC-002 (S) | L = เชื้อราไอโซเลท BC-012 (S) |



ภาพ 15 การเจริญของเชื้อราสาเหตุโรคแอนแทรกโนสบนอาหาร PDA ที่ผสมสารบีโนมิล ที่ 4 ระดับความเข้มข้น คือ 1, 10, 100 และ 500 ppm เปรียบเทียบกับชุดควบคุม เมื่ออายุ 3 วัน

- | | |
|--------------------------------|--------------------------------|
| A = เชื้อราไอโซเลท SC-004 (S) | B = เชื้อราไอโซเลท SC-017 (S) |
| C = เชื้อราไอโซเลท SC-020 (HR) | D = เชื้อราไอโซเลท SC-021 (HR) |
| E = เชื้อราไอโซเลท SC-025 (S) | F = เชื้อราไอโซเลท SC-034 (S) |
| G = เชื้อราไอโซเลท SC-038 (HR) | H = เชื้อราไอโซเลท MC-002 (S) |
| I = เชื้อราไอโซเลท MC-028 (S) | J = เชื้อราไอโซเลท MC-034 (S) |
| K = เชื้อราไอโซเลท BC-002 (S) | L = เชื้อราไอโซเลท BC-012 (S) |



ภาพ 16 การเจริญของเชื้อราสาเหตุโรคแอนแทรกโนบนอาหาร PDA ที่ผสมสารไทโอฟาเนตเมทริล ที่ 4 ระดับความเข้มข้น คือ 1, 10, 100 และ 500 ppm เปรียบเทียบกับชุดควบคุมเมื่ออายุ 3 วัน

A = เชื้อราไอโซเลท SC-004 (S)

B = เชื้อราไอโซเลท SC-017 (S)

C = เชื้อราไอโซเลท SC-020 (HR)

D = เชื้อราไอโซเลท SC-021 (HR)

E = เชื้อราไอโซเลท SC-025 (S)

F = เชื้อราไอโซเลท SC-034 (S)

G = เชื้อราไอโซเลท SC-038 (HR)

H = เชื้อราไอโซเลท MC-002 (S)

I = เชื้อราไอโซเลท MC-028 (S)

J = เชื้อราไอโซเลท MC-034 (S)

K = เชื้อราไอโซเลท BC-002 (S)

L = เชื้อราไอโซเลท BC-012 (S)

5.2 การทดสอบความสามารถของสารเคมีกลุ่มไตรอะโซลในการควบคุมเชื้อราสาเหตุโรคแอนแทรกโนสกุหลาบ

การทดสอบสารเคมีในกลุ่มไตรอะโซล ซึ่งได้แก่ สารไซโปรโคนาโซล ที่ระดับความเข้มข้น 0.01, 0.1, 1, 10, 25 ppm และชุดควบคุม กับเชื้อรา *C. gloeosporioides* จำนวน 12 ไอโซเลท จากแปลงปลูกกุหลาบ ผลการวิเคราะห์ทางสถิติของประสิทธิภาพสารเคมีในการยับยั้งการเจริญของเชื้อรา แสดงไว้ในตาราง 9 ซึ่งพบว่า isolate และ concentration มีความแตกต่างอย่างมีนัยสำคัญทางสถิติที่ $p = 0.01$ และเกิดปฏิกิริยาร่วมระหว่าง treatment combination ทั้งสองขึ้นด้วย ($p = 0.01$) เมื่อพิจารณาค่าเฉลี่ยของ treatment ต่างๆ พบว่าสารไซโปรโคนาโซลยับยั้งการเจริญของเชื้อราได้ดีที่สุดที่อัตราความเข้มข้น 25 ppm กับเชื้อรา 2 ไอโซเลท คือ SC-025 และ SC-038 ซึ่งมีเปอร์เซ็นต์การยับยั้งที่ 68.82 และ 71.30% ทั้ง 2 treatment นี้ ไม่มีความแตกต่างทางสถิติ ข้อมูลแสดงไว้ในตาราง 10 และภาพ 17 และสารกลุ่มไตรอะโซล ที่นำมาทดสอบอีกชนิดหนึ่งคือสารเฮกซะโคนาโซล ซึ่งได้นำมาทดสอบที่อัตรา 0.1, 1, 10, 25, 50 ppm และชุดควบคุม ผลการวิเคราะห์ทางสถิติในการยับยั้งการเจริญของเชื้อราแสดงในตาราง 11 พบว่า isolate x concentration เกิด interaction ขึ้นที่ $p = 0.01$ โดยพบว่าสารเฮกซะโคนาโซลที่อัตราแนะนำคือ 50 ppm สามารถยับยั้งการเจริญของเชื้อราทั้ง 12 ไอโซเลทได้เท่ากับ 100% ทั้งนี้สามารถยับยั้งการเจริญของเชื้อที่ต้านทานต่อสารกลุ่มเบนซิมิดาโซลได้อีกด้วย นอกจากนี้ยังพบว่าที่ความเข้มข้นรองลงมาคือ 25 ppm ของเชื้อราไอโซเลท SC-025, BC-002 และ BC-012 สารเคมีสามารถยับยั้งการเจริญได้ดีที่สุด โดยไม่มีความแตกต่างอย่างมีนัยสำคัญทางสถิติที่ $p = 0.05$ แสดงข้อมูลในตาราง 12 และภาพ 17

5.3 การทดสอบความสามารถของสารเคมีกลุ่มอะคริลาไมด์ในการควบคุมเชื้อราสาเหตุโรคแอนแทรกโนสกุหลาบ

การทดสอบสารเคมีกลุ่มอะคริลาไมด์ ซึ่งได้แก่ สารเบนนาเล็กซิล ที่ระดับความเข้มข้น 1, 10, 100, 250, 500 ppm และชุดควบคุม กับเชื้อรา *C. gloeosporioides* โดยแสดงผลการวิเคราะห์ข้อมูลทางสถิติไว้ในตาราง 13 พบว่า isolate x concentration เกิดปฏิกิริยาร่วมอย่างมีนัยสำคัญทางสถิติที่ $p = 0.01$ โดยที่ความเข้มข้น 500 ppm สามารถยับยั้งการเจริญของเส้นใยเชื้อราไอโซเลท BC-002 ได้ดีที่สุด คือ 94.18% รองลงมาคือไอโซเลท MC-034 ยับยั้งได้ 84.51% ซึ่งแตกต่างกันอย่างมีนัยสำคัญทางสถิติ ($p = 0.05$) และเมื่อพิจารณาสารเบนนาเล็กซิลที่ความเข้มข้น 1 ppm กับชุดควบคุมพบว่าเปอร์เซ็นต์การยับยั้งของเชื้อราบางไอโซเลทไม่มีความแตกต่างจากชุดควบคุมยกตัวอย่างเช่นเชื้อราไอโซเลท SC-004 ที่ความเข้มข้น 1 ppm มีเปอร์เซ็นต์การยับยั้ง 7.43% ซึ่งไม่มีความแตกต่างอย่างมีนัยสำคัญทางสถิติที่ความเชื่อมั่น 99% แสดงข้อมูลในตาราง 14 และภาพ 17

ตาราง 9 ผลการวิเคราะห์ความผันแปรทางสถิติแบบ Factorial in CRD ของสารไซโปรโคนาโซล ที่ระดับความเข้มข้น 0.01, 0.1, 1, 10, 25 ppm และชุดควบคุม ต่อการเจริญของเส้นใยที่อายุ 3 วันของเชื้อรา *Colletotrichum gloeosporioides* สาเหตุโรคแอนแทรคโนสกุหลาบ จำนวน 12 ไอโซเลท ที่แยกจากสวน อ. สันกำแพง อ.แม่ริม และ อ.เมือง จ.เชียงใหม่

Source	df	SS	MS	F	P
Isolate (Is)	11	3571.3	324.7	136.69	0.0000
Concentration (C)	5	78269.9	15654.0	6590.81	0.0000
Is x C	55	8752.6	159.1	67.00	0.0000
Error	144	342.0	2.4		
Total	215				
Grand mean	=	24.95			
CV (%)	=	6.18			

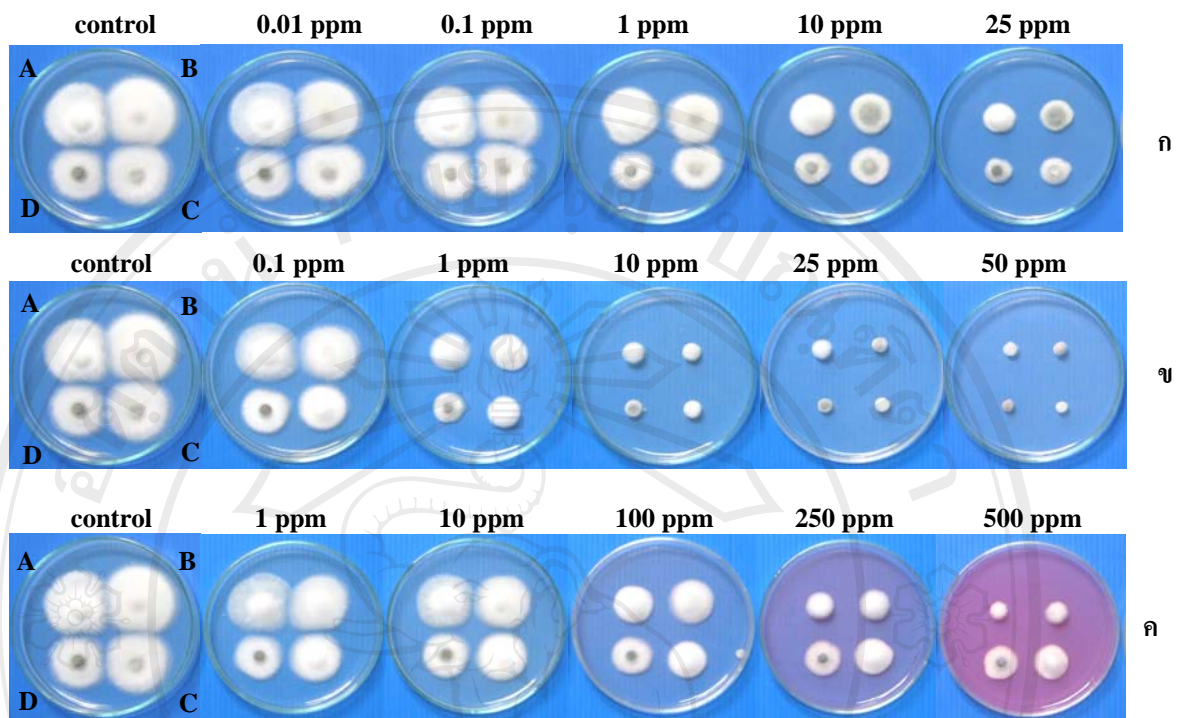
ตาราง 10 ความสามารถของสารไซโปรโคนาโซล ที่ระดับความเข้มข้น 0.01, 0.1, 1, 10, 25 ppm และชุดควบคุม ในการยับยั้งการเจริญของเส้นใยเชื้อรา *Colletotrichum gloeosporioides* สาเหตุโรคแอนแทรคโนสกุหลาบที่แยกจาก อ. สันกำแพง (SC) อ.แม่ริม (MC) และ อ.เมือง (BC) จ.เชียงใหม่ ที่อายุ 3 วัน

Fungicide	Isolate	Growth (cm) ¹	Inhibition(%) ²				
			0.01 ppm	0.1 ppm	1 ppm	10 ppm	25 ppm
cyproconazole	SC-004	3.43	7.76	13.58	17.47	32.52	52.42
	SC-017	3.67	17.27	21.82	28.19	40.46	53.18
	SC-020	3.42	22.93	27.32	34.15	37.56	58.05
	SC-021	3.03	25.16	32.96	39.54	41.72	50.00
	SC-025	3.37	3.00	5.94	12.86	57.90	68.82
	SC-034	3.65	5.94	9.59	13.23	44.74	58.43
	SC-038	3.72	7.62	13.45	18.83	56.51	71.30
	MC-002	3.13	1.08	5.29	11.69	44.66	54.77
	MC-028	3.52	5.68	10.91	16.11	22.74	47.40
	MC-034	3.85	7.35	8.64	13.40	47.19	62.78
	BC-002	2.88	2.30	14.44	20.23	49.15	58.40
	BC-012	3.07	7.06	21.18	29.32	41.83	49.98

¹ ค่าเฉลี่ยคิดจาก 3 ซ้ำของชุดควบคุม

² ค่าเฉลี่ยคิดจาก 3 ซ้ำของเปอร์เซ็นต์การยับยั้ง

LSD (p=0.01) = 3.28, LSD (p=0.05) = 2.49, CV (%) = 6.18



ภาพ 17 การเจริญของเชื้อราสาเหตุโรคแอนแทรกโนสบนอาหาร PDA ที่ผสมสารไซโปรโคนาโซล สารเฮกซะโคนาโซล และสารเบนาแล็กซิด ที่ 5 ระดับความเข้มข้น เมื่ออายุ 3 วัน เปรียบเทียบกับชุดควบคุม

ก. การเจริญของเชื้อราบนอาหาร PDA ที่ผสมสารไซโปรโคนาโซล ที่ 5 ระดับความเข้มข้น คือ 0.01, 0.1, 1, 10 และ 25 ppm เปรียบเทียบกับชุดควบคุม

ข. การเจริญของเชื้อราบนอาหาร PDA ที่ผสมสารเฮกซะโคนาโซลที่ 5 ระดับความเข้มข้น คือ 0.1, 1, 10, 25 และ 50 ppm เปรียบเทียบกับชุดควบคุม

ค. การเจริญของเชื้อราบนอาหาร PDA ที่ผสมสารเบนาแล็กซิดที่ 5 ระดับความเข้มข้น คือ 1, 10, 100, 250 และ 500 ppm เปรียบเทียบกับชุดควบคุม

A = เชื้อราไอโซเลท SC-004 (S)

B = เชื้อราไอโซเลท SC-017 (S)

C = เชื้อราไอโซเลท SC-020 (HR)

D = เชื้อราไอโซเลท SC-021 (HR)

ตาราง 11 ผลการวิเคราะห์ความผันแปรทางสถิติแบบ Factorial in CRD ของสารเฮกซะโคนาโซล ที่ระดับความเข้มข้น 0.1, 1, 10, 25, 50 ppm และชุดควบคุม ต่อการเจริญของเส้นใยที่อายุ 3 วันของเชื้อรา *Colletotrichum gloeosporioides* สาเหตุโรคแอนแทรคโนสกุหลาบ จำนวน 12 ไอโซเลท ที่แยกจากสวน อ. สันกำแพง อ.แมริม และ อ.เมือง จ.เชียงใหม่

Source	df	SS	MS	F	P
Isolate (Is)	11	2350	213.6	14.19	0.0000
Concentration (C)	5	306616	61323.2	4072.89	0.0000
Is x C	55	5439	98.9	6.57	0.0000
Error	144	2168	15.1		
Total	215				
Grand mean	=	52.84			
CV (%)	=	7.34			

ตาราง 12 ความสามารถของสารเฮกซะโคนาโซล ที่ระดับความเข้มข้น 0.1, 1, 10, 25, 50 ppm และชุดควบคุม ในการยับยั้งการเจริญของเส้นใยเชื้อรา *Colletotrichum gloeosporioides* สาเหตุโรคแอนแทรคโนสกุหลาบที่แยกจาก อ. สันกำแพง (SC) อ.แมริม (MC) และ อ.เมือง (BC) จ.เชียงใหม่ ที่อายุ 3 วัน

Fungicide	Isolate	Growth (cm) ¹	Inhibition(%) ²				
			0.1 ppm	1 ppm	10 ppm	25 ppm	50 ppm
hexacomazole	SC-004	3.40	3.89	35.76	76.43	74.02	100.00
	SC-017	3.45	6.77	40.58	74.39	82.13	100.00
	SC-020	3.15	13.76	37.04	76.19	81.48	100.00
	SC-021	2.93	11.67	37.89	72.07	78.33	100.00
	SC-025	3.05	18.25	49.18	100.00	93.99	100.00
	SC-034	3.05	8.20	37.16	73.22	93.55	100.00
	SC-038	3.58	14.67	56.64	79.95	82.28	100.00
	MC-002	3.18	16.53	28.07	77.96	85.84	100.00
	MC-028	3.28	2.29	24.17	69.47	90.79	100.00
	MC-034	3.55	5.15	43.61	76.99	88.72	100.00
	BC-002	3.18	10.21	13.31	78.46	100.00	100.00
	BC-012	2.85	8.71	45.60	74.84	100.00	100.00

¹ ค่าเฉลี่ยคิดจาก 3 ซ้ำของชุดควบคุม

² ค่าเฉลี่ยคิดจาก 3 ซ้ำของเปอร์เซ็นต์การยับยั้ง

LSD (p=0.01) = 8.27

LSD (p=0.05) = 6.26

CV (%) = 7.34

ตาราง 13 ผลการวิเคราะห์ความผันแปรทางสถิติแบบ Factorial in CRD ของสารเบนาลักซิลที่ระดับความเข้มข้น 1, 10, 100, 250, 500 ppm และชุดควบคุม ต่อการเจริญของเส้นใยที่อายุ 3 วันของเชื้อรา *Colletotrichum gloeosporioides* สาเหตุโรคแอนแทรคโนสกุหลาบ จำนวน 12 ไอโซเลท ที่แยกจากสวน อ. สันกำแพง อ.แม่ริม และ อ.เมือง จ.เชียงใหม่

Source	df	SS	MS	F	P
Isolate (Is)	11	8600	781.8	49.66	0.0000
Concentration (C)	5	123897	24779.4	1574.01	0.0000
Is x C	55	17197	312.7	19.86	0.0000
Error	144	2267	15.7		
Total	215				
Grand mean	=	27.94			
CV (%)	=	14.20			

ตาราง 14 ความสามารถของสารเบนาลักซิล ที่ระดับความเข้มข้น 1, 10, 100, 250, 500 ppm และชุดควบคุม ในการยับยั้งการเจริญของเส้นใยเชื้อรา *Colletotrichum gloeosporioides* สาเหตุโรคแอนแทรคโนสกุหลาบที่แยกจาก อ.สันกำแพง (SC) อ.แม่ริม (MC) และ อ.เมือง (BC) จ.เชียงใหม่ ที่อายุ 3 วัน

Fungicide	Isolate	Growth (cm) ¹	Inhibition(%) ²				
			1 ppm	10 ppm	100 ppm	250 ppm	500 ppm
benalaxyl	SC-004	3.40	7.43	12.30	51.76	63.33	74.02
	SC-017	3.45	5.80	7.73	25.12	56.52	65.70
	SC-020	3.15	14.29	8.47	31.75	37.57	38.10
	SC-021	2.93	11.09	10.54	27.08	34.49	35.61
	SC-025	3.05	3.28	9.84	33.88	62.30	68.30
	SC-034	3.05	1.08	4.92	24.56	58.72	68.30
	SC-038	3.58	5.82	5.34	26.79	31.47	35.66
	MC-002	3.18	11.82	21.77	35.41	62.19	75.30
	MC-028	3.28	4.81	0.25	24.17	66.41	67.94
	MC-034	3.55	1.86	8.45	35.68	84.51	84.51
	BC-002	3.18	6.01	9.19	23.87	74.84	94.18
	BC-012	2.85	5.78	7.01	23.39	32.95	51.44

¹ ค่าเฉลี่ยคิดจาก 3 ซ้ำของชุดควบคุม

² ค่าเฉลี่ยคิดจาก 3 ซ้ำของเปอร์เซ็นต์การยับยั้ง

LSD (p=0.01) = 8.46

LSD (p=0.05) = 6.40

CV (%) = 14.20

5.4 การทดสอบความสามารถของสารเคมีกลุ่มไดโทอีคาร์บามาต ในการควบคุมเชื้อราสาเหตุโรคแอนแทรกโนสกุหลาบ

การทดสอบสารเคมีกลุ่มไดโทอีคาร์บามาต ได้แก่ สารแมนโคเซ็บ ที่ระดับความเข้มข้น 10, 100, 500, 1000, 2000 ppm และชุดควบคุม พบว่าเกิดปฏิกิริยาร่วมระหว่าง isolate x concentration ($p = 0.01$) แสดงข้อมูลผลการวิเคราะห์ทางสถิติประสิทธิภาพของสารเคมีในการยับยั้งการเจริญของเชื้อรา ไว้ในตาราง 15 พบว่าการทดสอบสารที่อัตราสูงสุด 2000 ppm สามารถยับยั้งการเจริญของเชื้อราไอโซเลท MC-034 และ MC-002 ได้ดีที่สุดคือ 94.81 และ 91.37% ซึ่งไม่มีความแตกต่างอย่างมีนัยสำคัญทางสถิติที่ความเชื่อมั่น $p = 0.01$ และสามารถยับยั้งการเจริญของเชื้อราไอโซเลท SC-025 และ SC-034 ได้ 70.78 และ 72.60% แสดงข้อมูลในตาราง 16 และภาพ 18

5.5 การทดสอบความสามารถของสารเคมีกลุ่มฟาลิไนไตร์ ในการควบคุมเชื้อราสาเหตุโรคแอนแทรกโนสกุหลาบ

การทดสอบสารเคมีกลุ่มฟาลิไนไตร์ ได้แก่ สารคลอโรธาโรนิล ที่ระดับความเข้มข้น 10, 50, 250, 500, 1000 ppm และชุดควบคุม พบว่า isolate และ concentration เกิดปฏิกิริยาร่วมอย่างมีนัยสำคัญทางสถิติที่ $p = 0.01$ (ตาราง 17) โดยสารคลอโรธาโรนิลที่ความเข้มข้น 1000 pm สามารถยับยั้งการเจริญเชื้อราไอโซเลท MC-002 ได้ดีที่สุดเท่ากับ 93.75% รองลงมาคือไอโซเลท SC-034 สารเคมีสามารถยับยั้งได้ 72.60% ซึ่งแตกต่างอย่างมีนัยสำคัญทางสถิติที่ $p = 0.01$ แสดงข้อมูลในตาราง 18 และภาพ 18

5.6 การทดสอบความสามารถของสารเคมีกลุ่มอินออร์แกนิกในการควบคุมเชื้อราสาเหตุโรคแอนแทรกโนสกุหลาบ

การทดสอบสารเคมีกลุ่มอินออร์แกนิก ได้แก่ สารคอปเปอร์ ออกซีคลอไรด์ ที่ระดับความเข้มข้น 10, 100, 1000, 2000, 3500 ppm และชุดควบคุม พบการเกิดปฏิกิริยาร่วมระหว่าง isolate x concentration ($p = 0.01$) ผลการวิเคราะห์ทางสถิติแสดงไว้ในตาราง 19 พบว่าที่ความเข้มข้น 3500 ppm สามารถยับยั้งการเจริญของเชื้อราได้สูงสุด 75.60 และ 75.40% ของเชื้อราไอโซเลท MC-002 และ SC-020 ซึ่งไม่แตกต่างอย่างมีนัยสำคัญทางสถิติที่ความเชื่อมั่น 99% และที่ความเข้มข้นต่ำสุด 10 ppm สารเคมีไม่สามารถยับยั้งการเจริญของเชื้อราไอโซเลท SC-020, MC-028, BC-002 และ BC-012 ซึ่งแตกต่างอย่างมีนัยสำคัญทางสถิติที่ความเชื่อมั่น 99% แสดงข้อมูลในตาราง 20 และภาพ 18

ตาราง 15 ผลการวิเคราะห์ความผันแปรทางสถิติแบบ Factorial in CRD ของสารแมนโคเซ็บ ที่ระดับความเข้มข้น 10, 100, 500, 1000, 2000 ppm และชุดควบคุม ต่อการเจริญของเส้นใยที่อายุ 3 วันของเชื้อรา *Colletotrichum gloeosporioides* สาเหตุโรคแอนแทรคโนสกุหลาบ จำนวน 12 ไอโซเลท ที่แยกจากสวน อ. สันกำแพง อ.แม่ริม และ อ.เมือง จ.เชียงใหม่

Source	df	SS	MS	F	P
Isolate (Is)	11	9997.1	908.8	54.49	0.0000
Concentration (C)	5	70733.1	14146.6	848.19	0.0000
Is x C	55	12662.0	230.2	13.80	0.0000
Error	144	2401.7	16.7		
Total	215				

Grand mean = 27.98
CV (%) = 14.60

ตาราง 16 ความสามารถของสารแมนโคเซ็บ ที่ระดับความเข้มข้น 10, 100, 500, 1000, 2000 ppm และชุดควบคุม ในการยับยั้งการเจริญของเส้นใยเชื้อรา *Colletotrichum gloeosporioides* สาเหตุโรคแอนแทรคโนสกุหลาบที่แยกจาก อ.สันกำแพง (SC) อ.แม่ริม (MC) และ อ.เมือง (BC) จ.เชียงใหม่ ที่อายุ 3 วัน

Fungicide	Isolate	Growth (cm) ¹	Inhibition(%) ²				
			10 ppm	100 ppm	500 ppm	1000 ppm	2000 ppm
mancozeb	SC-004	3.43	3.87	11.63	15.05	38.35	50.00
	SC-017	3.67	9.05	10.45	34.09	33.64	39.09
	SC-020	3.42	14.59	23.41	28.77	31.70	45.37
	SC-021	3.03	7.67	15.34	23.60	30.22	44.50
	SC-025	3.37	8.94	32.16	38.13	48.48	70.78
	SC-034	3.65	14.22	37.91	43.37	49.31	72.60
	SC-038	3.72	12.12	34.54	40.37	41.70	61.44
	MC-002	3.13	3.16	28.16	43.08	57.43	91.37
	MC-028	3.52	7.59	12.32	22.74	31.27	45.49
	MC-034	3.85	14.32	25.53	38.96	43.72	94.81
	BC-002	2.88	13.79	24.83	28.31	26.59	36.98
	BC-012	3.07	19.07	32.58	36.40	34.23	44.00

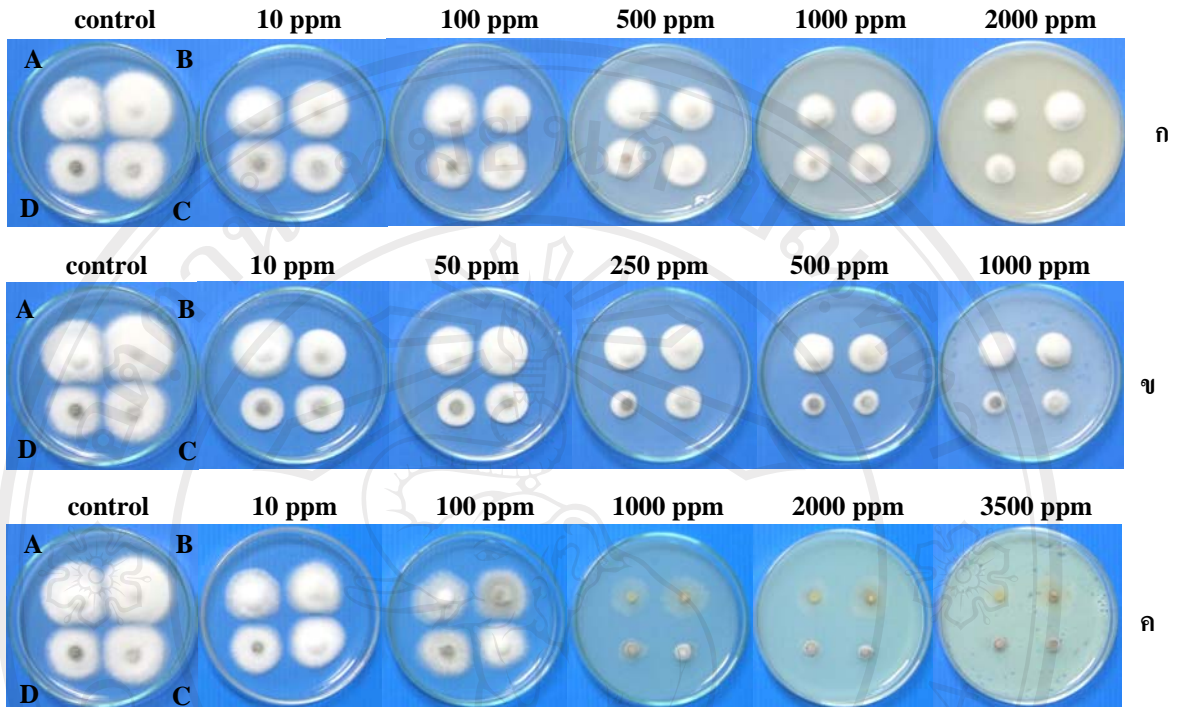
¹ ค่าเฉลี่ยคิดจาก 3 ซ้ำของชุดควบคุม

² ค่าเฉลี่ยคิดจาก 3 ซ้ำของเปอร์เซ็นต์การยับยั้ง

LSD (p=0.01) = 8.70

LSD (p=0.05) = 6.59

CV (%) = 14.60



ภาพ 18 การเจริญของเชื้อราสาเหตุโรคแอนแทรกคโนสบนอาหาร PDA ที่ผสมสารแมนโคเซ็บ สารคลอโรธาโรนิน และสารคอปเปอร์ ออกซิคโลไรด์ ที่ 5 ระดับความเข้มข้น เมื่ออายุ 3 วัน เปรียบเทียบกับชุดควบคุม

ก. การเจริญของเชื้อราบนอาหาร PDA ที่ผสมสารแมนโคเซ็บ ที่ 5 ระดับความเข้มข้น คือ 10, 100, 500, 1000 และ 2000 ppm เปรียบเทียบกับชุดควบคุม

ข. การเจริญของเชื้อราบนอาหาร PDA ที่ผสมสารคลอโรธาโรนินที่ 5 ระดับความเข้มข้น คือ 10, 50, 250, 500 และ 1000 ppm เปรียบเทียบกับชุดควบคุม

ค. การเจริญของเชื้อราสาเหตุโรคแอนแทรกคโนสบนอาหาร PDA ที่ผสมสารคอปเปอร์ ออกซิคโลไรด์ ที่ 5 ระดับความเข้มข้น คือ 10, 100, 1000, 2000 และ 3500 เปรียบเทียบกับชุดควบคุม

A = เชื้อราไอโซเลท SC-004 (S)

B = เชื้อราไอโซเลท SC-017 (S)

C = เชื้อราไอโซเลท SC-020 (HR)

D = เชื้อราไอโซเลท SC-021 (HR)

ตาราง 17 ผลการวิเคราะห์ความผันแปรทางสถิติแบบ Factorial in CRD ของสารคลอโรธาโรนิล ที่ระดับความเข้มข้น 10, 50, 250, 500, 1000 ppm และชุดควบคุม ต่อการเจริญของเส้นใยที่อายุ 3 วันของเชื้อรา *Colletotrichum gloeosporioides* สาเหตุโรคแอนแทรคโนสกุหลาบ จำนวน 12 ไอโซเลท ที่แยกจากสวน อ. สันกำแพง อ.แม่ริม และ อ.เมือง จ.เชียงใหม่

Source	df	SS	MS	F	P
Isolate (Is)	11	11450.8	1041.0	233.50	0.0000
Concentration (C)	5	74074.4	14814.9	3323.13	0.0000
Is x C	55	8590.4	156.2	35.03	0.0000
Error	144	642.0	4.5		
Total	215				
Grand mean	=	36.55			
CV (%)	=	5.78			

ตาราง 18 ความสามารถของสารคลอโรธาโรนิล ที่ระดับความเข้มข้น 10, 50, 250, 500, 1000 ppm และชุดควบคุม ในการยับยั้งการเจริญของเส้นใยเชื้อรา *Colletotrichum gloeosporioides* สาเหตุโรคแอนแทรคโนสกุหลาบที่แยกจาก อ.สันกำแพง (SC) อ.แม่ริม (MC) และ อ.เมือง (BC) จ.เชียงใหม่ ที่อายุ 3 วัน

Fungicide	Isolate	Growth (cm) ¹	Inhibition(%) ²				
			10 ppm	50 ppm	250 ppm	500 ppm	1000 ppm
chlorothalonil	SC-004	3.43	4.38	20.38	31.06	37.87	42.72
	SC-017	3.67	31.36	21.81	35.91	40.91	53.18
	SC-020	3.42	27.31	29.26	42.43	59.99	62.91
	SC-021	3.03	29.68	33.51	46.16	59.90	67.03
	SC-025	3.37	28.21	33.66	35.13	39.60	46.02
	SC-034	3.65	21.45	36.52	52.03	68.49	72.60
	SC-038	3.72	33.63	37.22	50.23	64.57	66.82
	MC-002	3.13	37.23	48.41	62.77	70.23	93.75
	MC-028	3.52	14.21	22.27	42.19	46.91	51.18
	MC-034	3.85	25.55	37.22	48.91	51.07	61.90
	BC-002	2.88	26.59	38.74	49.16	52.02	52.60
	BC-012	3.07	30.41	41.83	42.37	45.63	33.69

¹ ค่าเฉลี่ยคิดจาก 3 ซ้ำของชุดควบคุม

² ค่าเฉลี่ยคิดจาก 3 ซ้ำของเปอร์เซ็นต์การยับยั้ง

LSD (p=0.01) = 4.50

LSD (p=0.05) = 3.41

CV (%) = 5.78

ตาราง 19 ผลการวิเคราะห์ความผันแปรทางสถิติแบบ Factorial in CRD ของสารคอปเปอร์ ออกซิคลอไรด์ ที่ระดับความเข้มข้น 10, 100, 1000, 2000, 3500 ppm และชุดควบคุม ต่อการเจริญของเส้นใยที่อายุ 3 วันของเชื้อรา *Colletotrichum gloeosporioides* สาเหตุโรคแอนแทรกโนสกุหลาบ จำนวน 12 ไอโซเลท ที่แยกจากสวน อ. สันกำแพง อ.แมริม และ อ.เมือง จ.เชียงใหม่

Source	df	SS	MS	F	P
Isolate (Is)	11	11026	1002.4	100.14	0.0000
Concentration (C)	5	113305	22661.1	2263.93	0.0000
Is x C	55	11571	210.4	21.02	0.0000
Error	144	1441	10.0		
Total	215				
Grand mean	=	27.58			
CV (%)	=	11.47			

ตาราง 20 ความสามารถของสารคอปเปอร์ ออกซิคลอไรด์ ที่ระดับความเข้มข้น 10, 100, 1000, 2000, 3500 ppm และชุดควบคุม ในการยับยั้งการเจริญของเส้นใยเชื้อรา *Colletotrichum gloeosporioides* สาเหตุโรคแอนแทรกโนสกุหลาบที่แยกจาก อ. สันกำแพง (SC) อ.แมริม (MC) และ อ.เมือง (BC) จ.เชียงใหม่ ที่อายุ 3 วัน

Fungicide	Isolate	Growth (cm) ¹	Inhibition(%) ²				
			10 ppm	100 ppm	1000 ppm	2000 ppm	3500 ppm
copper oxychloride	SC-004	3.40	12.49	11.71	34.57	42.64	57.47
	SC-017	3.45	7.25	3.62	22.46	31.16	33.33
	SC-020	3.15	0.00	3.17	65.87	73.02	75.40
	SC-021	2.93	1.71	1.72	52.13	58.96	64.96
	SC-025	3.05	4.10	0.82	30.33	41.80	48.36
	SC-034	3.05	0.81	4.90	37.87	59.03	64.76
	SC-038	3.58	12.58	15.38	44.75	52.46	55.25
	MC-002	3.18	14.96	21.24	66.94	68.50	75.60
	MC-028	3.28	0.00	3.82	54.97	65.65	66.40
	MC-034	3.55	4.19	9.85	24.65	38.03	35.93
	BC-002	3.18	0.00	6.31	42.49	56.72	49.61
	BC-012	2.85	0.00	3.51	28.41	38.48	43.85

¹ ค่าเฉลี่ยคิดจาก 3 ซ้ำของชุดควบคุม

² ค่าเฉลี่ยคิดจาก 3 ซ้ำของเปอร์เซ็นต์การยับยั้ง

LSD (p=0.01) = 6.74

LSD (p=0.05) = 5.11

CV (%) = 11.47

6. การศึกษาการเปลี่ยนแปลงระดับยีนของเชื้อราสาเหตุโรคแอนแทรกโนสกุหลาบที่มีผลต่อการต้านทานสารป้องกันกำจัดเชื้อราเบนซิมิดาโซล

6.1 การสกัดดีเอ็นเอจากเส้นใยของเชื้อรา

จากผลการทำอิเล็กโตรโฟรีซิสใน agarose gel 1% เพื่อตรวจสอบคุณภาพและปริมาณของการสกัดดีเอ็นเอจากวิธีที่ 1 และวิธีที่ 2 พบว่าการสกัดดีเอ็นเอด้วยวิธีที่ 1 ให้ปริมาณดีเอ็นเอที่มากกว่าวิธีที่ 2 ดังนั้นในการสกัดดีเอ็นเอเชื้อราครั้งนี้จึงเลือกใช้วิธีที่ 1 (ภาพ 19) จากนั้นทำการสกัดดีเอ็นเอของเชื้อรา *C. gloeosporioides* สาเหตุโรคแอนแทรกโนสในกุหลาบ จำนวนทั้งสิ้น 4 ไอโซเลต ได้แก่ SC-017, SC-020, SC-021 และ SC-038 ที่ได้ทำการศึกษาการต้านทานต่อสารป้องกันกำจัดเชื้อราเบนซิมิดาโซลแล้ว และเพื่อจะนำไปทำการเพิ่มปริมาณดีเอ็นเอบริเวณ beta-tubulin (TBU2) gene ต่อไป (ภาพ 20)

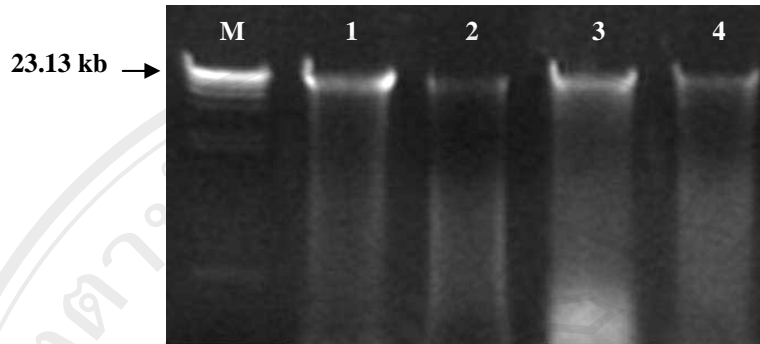


ภาพ 19 Gel electrophoresis บน 1% agarose gel ของดีเอ็นเอที่สกัดได้จากวิธีที่ 1 และวิธีที่ 2

แถวที่ M = ดีเอ็นเอมาตรฐาน 1 kb DNA ladder

แถวที่ 1 = ไอโซเลต SC-021 สกัดโดยวิธีที่ 1

แถวที่ 2 = ไอโซเลต SC-021 สกัดโดยวิธีที่ 2



ภาพ 20 Gel electrophoresis บน 1% agarose gel ของดีเอ็นเอที่สกัดได้

แถวที่ M	=	ดีเอ็นเอมาตรฐาน lambda DNA/ <i>Hind</i> III
แถวที่ 1	=	ไอโซเลท SC-017 (S)
แถวที่ 2	=	ไอโซเลท SC-020 (HR)
แถวที่ 3	=	ไอโซเลท SC-021 (HR)
แถวที่ 4	=	ไอโซเลท SC-038 (HR)

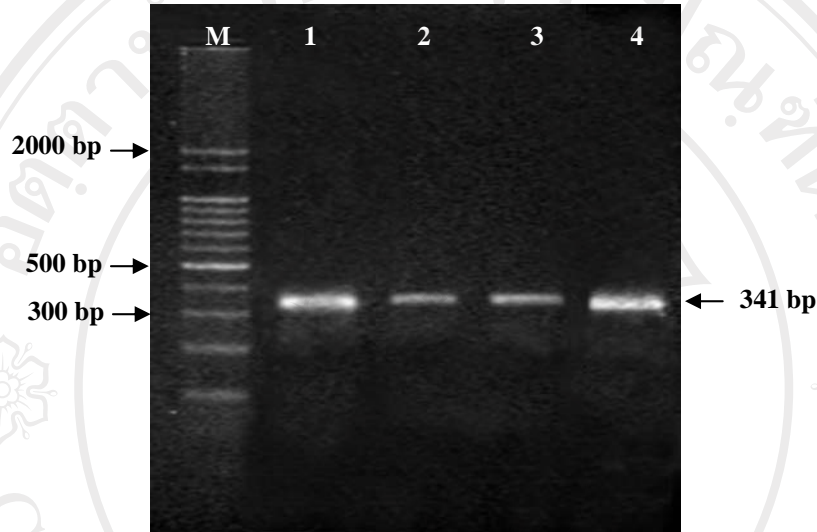
ลิขสิทธิ์มหาวิทยาลัยเชียงใหม่

Copyright© by Chiang Mai University

All rights reserved

6.2 การเพิ่มปริมาณดีเอ็นเอโดยเทคนิค PCR

จากการเพิ่มปริมาณดีเอ็นเอของเชื้อราที่ตำแหน่ง beta-tubulin (TBU2) gene ด้วย forward primer CTBF (5'-TCCAAGATCCGTGAGG-3') และ reverse primer CTBR (5'-AAGAAGTGGAGACGGG-3') พบแถบดีเอ็นเอขนาดประมาณ 341 bp (ภาพ 21)



ภาพ 21 Gel electrophoresis บน 1.5% agarose gel ของดีเอ็นเอที่เพิ่มปริมาณด้วย specific primers CTBF/CTBR ที่ตำแหน่งของ beta-tubulin (TBU2) gene ของเชื้อรา *C. gloeosporioides* สาเหตุโรคแอนแทรกโนสกุหลาบ

- | | | |
|----------|---|-----------------------------------|
| แฉวที่ M | = | ดีเอ็นเอมาตรฐาน 100 bp DNA ladder |
| แฉวที่ 1 | = | ไอโซเลท SC-017 (S) |
| แฉวที่ 2 | = | ไอโซเลท SC-020 (HR) |
| แฉวที่ 3 | = | ไอโซเลท SC-021 (HR) |
| แฉวที่ 4 | = | ไอโซเลท SC-038 (HR) |

6.3 วิเคราะห์ลำดับนิวคลีโอไทด์ (Sequencing)

การวิเคราะห์ลำดับนิวคลีโอไทด์บางส่วนของ beta-tubulin (TBU2) gene ของเชื้อรา *C. gloeosporioides* สาเหตุโรคแอนแทรคโนสในกุหลาบจาก 4 ตัวอย่างที่เป็นตัวแทนของเชื้อรา ที่แสดงการอ่อนแอและต้านทานต่อสารเบนซิมิดาโซล ได้แก่ ไอโซเลท SC-017 (S), SC-020 (HR), SC-021 (HR) และ SC-038 (HR) ด้วยเครื่อง ABI PRISM 3100 Genetic Analyzer

6.4 การศึกษาลำดับนิวคลีโอไทด์

นำข้อมูลลำดับนิวคลีโอไทด์ของทั้ง 4 ตัวอย่างมาเปรียบเทียบความเหมือนของลำดับนิวคลีโอไทด์และลำดับของกรดอะมิโนกับ GenBank พบว่าไอโซเลท SC-017 (S) ซึ่งอ่อนแอต่อสารเบนซิมิดาโซล (ภาพ 22) มีความเหมือนกับ beta-tubulin (TBU2) gene บางส่วนของเชื้อรา *C. gloeosporioides* f. sp. *aeschynomene* (Accession No. U14138) ถึง 100% สำหรับไอโซเลท SC-020 (HR) (ภาพ 23) SC-021 (HR) (ภาพ 24) และ SC-038 (HR) (ภาพ 25) ซึ่งต้านทานต่อสารเบนซิมิดาโซล มีความเหมือนกับบางส่วนของ beta-tubulin (TBU2) gene ของเชื้อรา *C. gloeosporioides* f. sp. *aeschynomene* (Accession No. U14138) ถึง 99% โดยพบการเปลี่ยนแปลงของลำดับนิวคลีโอไทด์ที่ตำแหน่ง 1,286 ซึ่ง adenine (A) เปลี่ยนเป็น cytosine (C) เป็นผลให้เกิดการเปลี่ยนแปลงของกรดอะมิโนที่ codon 198 โดย glutamic acid (GAG) จะถูกแทนที่ด้วย alanine (GCG)

จากนั้นทำการเปรียบเทียบความเหมือนของลำดับนิวคลีโอไทด์ (ภาพ 26) และเปรียบเทียบความเหมือนของกรดอะมิโน (ภาพ 27) จากฐานข้อมูล GenBank กับบางส่วนของ beta-tubulin (TBU2) gene ของเชื้อราที่ทำการศึกษา พบว่าเชื้อราไอโซเลท SC-017 (S), SC-020 (HR), SC-021 (HR) และ SC-038 (HR) มีความเหมือนกับเชื้อรา *Glomerella acutata* (Accession No. AB273716) และ *C. graminicola* (Accession No. M34492) นอกจากนี้ยังพบการเปลี่ยนแปลงที่ลำดับนิวคลีโอไทด์ 1,278 ของไอโซเลท SC-020(HR) และ SC-021 (HR) โดยมีการเปลี่ยนแปลงจาก cytosine (C) เป็น thymine (T) ซึ่งการเปลี่ยนแปลงของลำดับนิวคลีโอไทด์ที่ตำแหน่งนี้จะไม่ทำให้กรดอะมิโนเปลี่ยนแปลงไป

```

CDS: Putative 1      1      F S V V P S P K V S D T V V E P Y N A T
SC-017(S)           28      CTTCTCCGTCGTTCCCTCCCAAGGTCTCCGACACCGTTGTCGAGCCCTACAACGCCAC 87
|||||
Sbjct               1191    CTTCTCCGTCGTTCCCTCCCAAGGTCTCCGACACCGTTGTCGAGCCCTACAACGCCAC 1250
CDS:beta-tubulin    167      F S V V P S P K V S D T V V E P Y N A T

CDS: Putative 1      21      L S V H Q L V E N S D E T F C I D N E A
SC-017(S)           88      TCTCTCCGTCACCAAGCTGGTTCGAGAAGTCCGACGAGACCTTCTGCATTGACAACGAGGC 147
|||||
Sbjct               1251    TCTCTCCGTCACCAAGCTGGTTCGAGAAGTCCGACGAGACCTTCTGCATTGACAACGAGGC 1310
CDS:beta-tubulin    187      L S V H Q L V E N S D E T F C I D N E A
                                     198

CDS: Putative 1      41      L Y D I C M R T L K L S N P S Y G D L N
SC-017(S)           148     TCTCTACGACATTTGCATGCGTACCCTCAAGCTGTCCAACCCCTTTACGGCGACTGAA 207
|||||
Sbjct               1311    TCTCTACGACATTTGCATGCGTACCCTCAAGCTGTCCAACCCCTTTACGGCGACTGAA 1370
CDS:beta-tubulin    207      L Y D I C M R T L K L S N P S Y G D L N

CDS: Putative 1      61      H L V S A V M S G V T T C L R F P G Q L
SC-017(S)           208     CCACCTGGTCTCTGCTGTTATGTCCGGTGTCACTACCTGCCTGCCTTTCCGGGTCAGCT 267
|||||
Sbjct               1371    CCACCTGGTCTCTGCTGTTATGTCCGGTGTCACTACCTGCCTGCCTTTCCGGGTCAGCT 1430
CDS:beta-tubulin    227      H L V S A V M S G V T T C L R F P G Q L

CDS: Putative 1      81      N S D L R K L A V N M V P F P R L H F
SC-017(S)           268     GAACTCTGACCTGCGCAAGCTGGCTGTCAACATGGTTCCTTTCCCCCGTCTCCACTTC 325
|||||
Sbjct               1431    GAACTCTGACCTGCGCAAGCTGGCTGTCAACATGGTTCCTTTCCCCCGTCTCCACTTC 1488
CDS:beta-tubulin    247      N S D L R K L A V N M V P F P R L H F

```

ภาพ 22 เปรียบเทียบความเหมือน 100% ของ beta-tubulin (TBU2) gene บางส่วนของเชื้อรา SC 017 (S) กับ beta-tubulin (TBU2) gene ของเชื้อรา *C. gloeosporioides* f. sp. *aeschyromene* (Accession No. U14138)

SC-017 (S) = Sensitive isolate

E = Glutamic acid (GAG)

ลิขสิทธิ์มหาวิทยาลัยเชียงใหม่
 Copyright© by Chiang Mai University
 All rights reserved

```

CDS: Putative 1      1      F S V V P S P K V S D T V V E P Y N A T
SC-020(HR)          28      CTTCTCCGTCGTTCCCTCCCAAGGTCTCCGACACCGTTGTCGAGCCCTACAACGCCAC 87
|||||
Sbjct              1191    CTTCTCCGTCGTTCCCTCCCAAGGTCTCCGACACCGTTGTCGAGCCCTACAACGCCAC 1250
CDS:beta-tubulin   167      F S V V P S P K V S D T V V E P Y N A T

CDS: Putative 1      21      L S V H Q L V E N S D A T F C I D N E A
SC-020(HR)          88      TCTCTCCGTCACCAAGCTGGTTCGAGAATTCCGACGCGACCTTCTGCATTGACAACGAGGC 147
|||||
Sbjct              1251    TCTCTCCGTCACCAAGCTGGTTCGAGAATTCCGACGAGACCTTCTGCATTGACAACGAGGC 1310
CDS:beta-tubulin   187      L S V H Q L V E N S D E T F C I D N E A
                                     198

CDS: Putative 1      41      L Y D I C M R T L K L S N P S Y G D L N
SC-020(HR)          148     TCTCTACGACATTTGCATGCGTACCCTCAAGCTGTCCAACCCCTTTACGGCGACTGAA 207
|||||
Sbjct              1311    TCTCTACGACATTTGCATGCGTACCCTCAAGCTGTCCAACCCCTTTACGGCGACTGAA 1370
CDS:beta-tubulin   207      L Y D I C M R T L K L S N P S Y G D L N

CDS: Putative 1      61      H L V S A V M S G V T T C L R F P G Q L
SC-020(HR)          208     CCACCTGGTCTCTGCTGTTATGTCCGGTGTCACTACCTGCCTGCCTTTCCGGGTCAGCT 267
|||||
Sbjct              1371    CCACCTGGTCTCTGCTGTTATGTCCGGTGTCACTACCTGCCTGCCTTTCCGGGTCAGCT 1430
CDS:beta-tubulin   227      H L V S A V M S G V T T C L R F P G Q L

CDS: Putative 1      81      N S D L R K L A V N M V P F P R L H F
SC-020(HR)          268     GAACTCTGACCTGGCAAGCTGGCTGTCAACATGGTTCCCTTCCCCCGTCTCCACTTC 325
|||||
Sbjct              1431    GAACTCTGACCTGGCAAGCTGGCTGTCAACATGGTTCCCTTCCCCCGTCTCCACTTC 1488
CDS:beta-tubulin   247      N S D L R K L A V N M V P F P R L H F
    
```

ภาพ 23 เปรียบเทียบความเหมือน 99% ของ beta-tubulin (TBU2) gene บางส่วนของเชื้อรา SC-020 (HR) กับ beta-tubulin (TBU2) gene ของเชื้อรา *C. gloeosporioides* f. sp. *aeschyromene* (Accession No. U14138)

SC-020 (HR) = Highly resistance isolate
 A = Alanine (GCG)
 E = Glutamic acid (GAG)

```

CDS: Putative 1      1      D R M M A T F S V V P S P K V S D T V
SC-021(HR)          1      CCGACCGCATGATGGCCACCTTCTCCGTCGTTCCCTCCCCAAGGTCTCCGACACCGTTG 60
|||||
Sbjct               1172   CCGACCGCATGATGGCCACCTTCTCCGTCGTTCCCTCCCCAAGGTCTCCGACACCGTTG 1231
CDS:beta-tubulin    160     D R M M A T F S V V P S P K V S D T V

CDS: Putative 1     20     V E P Y N A T L S V H Q L V E N S D A T
SC-021(HR)          61     TCGAGCCCTACAACGCCACTCTCTCCGTCCACCAGCTGGTCGAGAATCCGACGCGACCT 120
|||||
Sbjct               1232   TCGAGCCCTACAACGCCACTCTCTCCGTCCACCAGCTGGTCGAGAATCCGACGAGACCT 1291
CDS:beta-tubulin    180     V E P Y N A T L S V H Q L V E N S D E T
|||||
|||
198

CDS: Putative 1     40     F C I D N E A L Y D I C M R T L K L S N
SC-021(HR)          121    TCTGCATTGACAACGAGGCTCTCTACGACATTGTCATGCGTACCCTCAAGCTGTCCAACC 180
|||||
Sbjct               1292   TCTGCATTGACAACGAGGCTCTCTACGACATTGTCATGCGTACCCTCAAGCTGTCCAACC 1351
CDS:beta-tubulin    200     F C I D N E A L Y D I C M R T L K L S N

CDS: Putative 1     60     P S Y G D L N H L V S A V M S G V T T C
SC-021(HR)          181    CCTCTTACGGGACCTGAACCACCTGGTCTCTGCTGTTATGTCGGGTGCTACTACTGCC 240
|||||
Sbjct               1352   CCTCTTACGGGACCTGAACCACCTGGTCTCTGCTGTTATGTCGGGTGCTACTACTGCC 1411
CDS:beta-tubulin    220     P S Y G D L N H L V S A V M S G V T T C

CDS: Putative 1     80     L R F P G Q L N S D L R K L A V N M V P
SC-021(HR)          241    TGCCTTCCCGGTCAGCTGAACTCTGACCTGCGCAAGCTGGCTGTCAACATGGTTCCTT 300
|||||
Sbjct               1412   TGCCTTCCCGGTCAGCTGAACTCTGACCTGCGCAAGCTGGCTGTCAACATGGTTCCTT 1471
CDS:beta-tubulin    240     L R F P G Q L N S D L R K L A V N M V P

CDS: Putative 1     100    F P R L H
SC-021(HR)          301    TCCCCGCTCCAC 314
|||||
Sbjct               1472   TCCCCGCTCCAC 1485
CDS:beta-tubulin    260     F P R L H

```

ภาพ 24 เปรียบเทียบความเหมือน 99% ของ beta-tubulin (TBU2) gene บางส่วนของเชื้อรา SC-021 (HR) กับ beta-tubulin (TBU2) gene ของเชื้อรา *C. gloeosporioides* f. sp. *aeschynomene* (Accession No. U14138)

SC-021 (HR) = Highly resistance isolate

A = Alanine (GCG)

E = Glutamic acid (GAG)

ลิขสิทธิ์มหาวิทยาลัยเชียงใหม่
Copyright© by Chiang Mai University
All rights reserved


```

CDS: Putative 1      1      M M A T F S V V P S P K V S D T V V E
SC-038(HR)          5      GCATGATGGCCACCTTCTCCGTCGTTCCCTCCCCAAGGTCTCCGACACCGTTGTCGAGC 64
|||||
Sbjct              1178   GCATGATGGCCACCTTCTCCGTCGTTCCCTCCCCAAGGTCTCCGACACCGTTGTCGAGC 1237
CDS:beta-tubulin   162      M M A T F S V V P S P K V S D T V V E

CDS: Putative 1     20      P Y N A T L S V H Q L V E N S D A T F C
SC-038(HR)         65      CCTACAACGCCACTCTCTCCGTCCACCAGCTGGTCGAGAACTCCGACGCGACCTTCTGCA 124
|||||
Sbjct              1238   CCTACAACGCCACTCTCTCCGTCCACCAGCTGGTCGAGAACTCCGACGAGACCTTCTGCA 1297
CDS:beta-tubulin   182      P Y N A T L S V H Q L V E N S D E T F C
                                     198

CDS: Putative 1     40      I D N E A L Y D I C M R T L K L S N P S
SC-038(HR)        125     TTGACAACGAGGCTCTCTACGACATTTGCATGCGTACCCTCAAGCTGTCCAACCCCTCTT 184
|||||
Sbjct              1298   TTGACAACGAGGCTCTCTACGACATTTGCATGCGTACCCTCAAGCTGTCCAACCCCTCTT 1357
CDS:beta-tubulin   202      I D N E A L Y D I C M R T L K L S N P S

CDS: Putative 1     60      Y G D L N H L V S A V M S G V T T C L R
SC-038(HR)        185     ACGGCGACCTGAACCACCTGGTCTCTGCTGTTATGTCCGGTGTCACTACCTGCCTGCGTT 244
|||||
Sbjct              1358   ACGGCGACCTGAACCACCTGGTCTCTGCTGTTATGTCCGGTGTCACTACCTGCCTGCGTT 1417
CDS:beta-tubulin   222      Y G D L N H L V S A V M S G V T T C L R

CDS: Putative 1     80      F P G Q L N S D L R K L A V N M V P F P
SC-038(HR)        245     TCCCGGTTCAGCTGAACCTCTGACCTGCGCAAGCTGGCTGTCAACATGGTTCCTTTCCCC 304
|||||
Sbjct              1418   TCCCGGTTCAGCTGAACCTCTGACCTGCGCAAGCTGGCTGTCAACATGGTTCCTTTCCCC 1477
CDS:beta-tubulin   242      F P G Q L N S D L R K L A V N M V P F P

CDS: Putative 1     100     R L H
SC-038(HR)        305     GTCTCCAC 312
|||||
Sbjct              1478   GTCTCCAC 1485
CDS:beta-tubulin   262      R L H

```

ภาพ 25 เปรียบเทียบความเหมือน 99% ของ beta-tubulin (TBU2) gene บางส่วนของเชื้อรา SC-038 (HR) กับ beta-tubulin (TBU2) gene ของเชื้อรา *C. gloeosporioides* f. sp. *aeschynomene* (Accession No. U14138)

SC-038 (HR) = Highly resistance isolate

A = Alanine (GCG)

E = Glutamic acid (GAG)

SC-017 (S)	CTGGTCGAGAACTCCGACGAGACCTTCTGCATTGACAACGAGGCTCTCTA	143
SC-020 (HR)	CTGGTCGAGAAATCCGACGCGACCTTCTGCATTGACAACGAGGCTCTCTA	143
SC-021 (HR)	CTGGTCGAGAAATCCGACGCGACCTTCTGCATTGACAACGAGGCTCTCTA	143
SC-038 (HR)	CTGGTCGAGAACTCCGACGCGACCTTCTGCATTGACAACGAGGCTCTCTA	143
U14138	CTGGTCGAGAACTCCGACGAGACCTTCTGCATTGACAACGAGGCTCTCTA	1316
AB273716	CTGGTCGAGAACTCCGACGAGACCTTCTGCATTGACAACGAGGCTCTCTA	1162
M34492	CTGGTCGAGAACTCCGACGAGACCTTCTGCATTGACAACGAGGCTCTCTA	1531

* *
1,278 1,286

SC-017 (S)	CGACATTTGCATGCGTACCCTCAAGCTGTCCAACCCCTCTTACGGCGACC	193
SC-020 (HR)	CGACATTTGCATGCGTACCCTCAAGCTGTCCAACCCCTCTTACGGCGACC	193
SC-021 (HR)	CGACATTTGCATGCGTACCCTCAAGCTGTCCAACCCCTCTTACGGCGACC	193
SC-038 (HR)	CGACATTTGCATGCGTACCCTCAAGCTGTCCAACCCCTCTTACGGCGACC	193
U14138	CGACATTTGCATGCGTACCCTCAAGCTGTCCAACCCCTCTTACGGCGACC	1366
AB273716	CGACATTTGCATGCGTACCCTCAAGCTGTCCAACCCCTCTTACGGCGACC	1212
M34492	CGACATTTGCATGCGTACCCTCAAGCTGTCCAACCCCTCTTACGGCGACC	1581

SC-017 (S)	TGAACCACCTGGTCTCTGCTGTTATGTCCGGTGTCACTACCTGCCTGCGT	243
SC-020 (HR)	TGAACCACCTGGTCTCTGCTGTTATGTCCGGTGTCACTACCTGCCTGCGT	243
SC-021 (HR)	TGAACCACCTGGTCTCTGCTGTTATGTCCGGTGTCACTACCTGCCTGCGT	243
SC-038 (HR)	TGAACCACCTGGTCTCTGCTGTTATGTCCGGTGTCACTACCTGCCTGCGT	243
U14138	TGAACCACCTGGTCTCTGCTGTTATGTCCGGTGTCACTACCTGCCTGCGT	1416
AB273716	TGAACCACCTGGTCTCTGCTGTTATGTCCGGTGTCACTACCTGCCTGCGT	1262
M34492	TGAACCACCTGGTCTCTGCTGTTATGTCCGGTGTCACTACCTGCCTGCGT	1611

SC-017 (S)	TTCCCGGGTCAGCTGAACTCTGACCTGCGCAAGCTGGCTGTCAACATGGT	293
SC-020 (HR)	TTCCCGGGTCAGCTGAACTCTGACCTGCGCAAGCTGGCTGTCAACATGGT	298
SC-021 (HR)	TTCCCGGGTCAGCTGAACTCTGACCTGCGCAAGCTGGCTGTCAACATGGT	298
SC-038 (HR)	TTCCCGGGTCAGCTGAACTCTGACCTGCGCAAGCTGGCTGTCAACATGGT	298
U14138	TTCCCGGGTCAGCTGAACTCTGACCTGCGCAAGCTGGCTGTCAACATGGT	1466
AB273716	TTCCCGGGTCAGCTGAACTCTGACCTGCGCAAGCTGGCTGTCAACATGGT	1312
M34492	TTCCCGGGTCAGCTGAACTCTGACCTGCGCAAGCTGGCTGTCAACATGGT	1661

SC-017 (S)	TCCTTTCCCCCGTCTCCAC	312
SC-020 (HR)	TCCTTTCCCCCGTCTCCAC	312
SC-021 (HR)	TCCTTTCCCCCGTCTCCAC	312
SC-038 (HR)	TCCTTTCCCCCGTCTCCAC	312
U14138	TCCTTTCCCCCGTCTCCAC	1485
AB273716	TCCTTTCCCCCGTCTCCAC	1331
M34492	TCCTTTCCCCCGTCTCCAC	1680

ภาพ 26 การเปรียบเทียบความเหมือนลำดับนิวคลีโอไทด์บางส่วนของ beta-tubulin (TBU2) gene จากเชื้อรา *C. gloeosporioides* สาเหตุโรคแอนแทรกโนสกุหลาบกับ beta-tubulin (TBU2) gene ที่มีรายงานไว้ใน GenBank

SC-017 (Sensitive isolate)	SC-020 (Highly resistance isolate)
SC-021 (Highly resistance isolate)	SC-038 (Highly resistance isolate)
Accession No. U14138	= beta-tubulin (TBU2) gene ของเชื้อรา <i>C. gloeosporioides</i> f. sp. <i>aeschynomene</i>
Accession No. AB273716	= beta-tubulin (TBU2) gene ของเชื้อรา <i>Glomerella acutata</i>
Accession No. M34492	= beta-tubulin (TBU2) gene ของเชื้อรา <i>C. graminicola</i>

* คือ ตำแหน่งที่มีลำดับนิวคลีโอไทด์ต่างกัน

SC-017 (S) LVENSD**E**TFCIDNEALYDICMRTLKLSNPSYGDLNHLVSAVMSGVTTCL 49
 SC-020 (HR) LVENSD**A**TFCIDNEALYDICMRTLKLSNPSYGDLNHLVSAVMSGVTTCL 49
 SC-021 (HR) LVENSD**A**TFCIDNEALYDICMRTLKLSNPSYGDLNHLVSAVMSGVTTCL 49
 SC-038 (HR) LVENSD**A**TFCIDNEALYDICMRTLKLSNPSYGDLNHLVSAVMSGVTTCL 49
 AAA62875.2 LVENSD**E**TFCIDNEALYDICMRTLKLSNPSYGDLNHLVSAVMSGVTTCL 240
 BAF38476.1 LVENSD**E**TFCIDNEALYDICMRTLKLSNPSYGDLNHLVSAVMSGVTTCL 240
 AAA33046.1 LVENSD**E**TFCIDNEALYDICMRTLKLSNPSYGDLNHLVSAVMSGVTTCL 240

*
198

SC-017 RFPGQLNSDLRKLAVNMVFPFRLH 73
 SC-020 RFPGQLNSDLRKLAVNMVFPFRLH 73
 SC-021 RFPGQLNSDLRKLAVNMVFPFRLH 73
 SC-038 RFPGQLNSDLRKLAVNMVFPFRLH 73
 AAA62875.2 RFPGQLNSDLRKLAVNMVFPFRLH 264
 BAF38476.1 RFPGQLNSDLRKLAVNMVFPFRLH 264
 AAA33046.1 RFPGQLNSDLRKLAVNMVFPFRLH 264

ภาพ 27 การเปรียบเทียบความเหมือนของลำดับกรดอะมิโนบางส่วนของ beta-tubulin (TBU2) gene ของเชื้อรา *C. gloeosporioides* สาเหตุโรคแอนแทรคโนสกุหลาบทั้ง 4 ไอโซเลท ที่แยกจาก ต.ร่องวัวแดง อ.สันกำแพง จ.เชียงใหม่ กับที่มีรายงานไว้ใน GenBank

SC-017 (Sensitive isolate) SC-020 (Highly resistance isolate)

SC-021 (Highly resistance isolate) SC-038 (Highly resistance isolate)

Accession No. AAA62875.2 = beta-tubulin (TBU2) gene ของเชื้อรา
C. gloeosporioides f. sp. *aeschynomene*

Accession No. BAF38476.1 = beta-tubulin (TBU2) gene ของเชื้อรา
Glomerella acutata

Accession No. AAA33046.1 = beta-tubulin (TBU2) gene ของเชื้อรา
C. graminicola

* คือ ตำแหน่ง 198 ที่มีลำดับกรดอะมิโนต่างไป